



## Evaluation of the Fouling Phenomenon During Membrane Clarification of Apple Juice Using Scraped Surface Membrane Unit

S. Yassari<sup>1</sup>, H. Mirsaeedghazi<sup>2\*</sup>, L. Roozbeh Nasiraie<sup>3</sup>, A. Fadavi<sup>4</sup>

1 and 3- Ph.D. Student and Assistant Professor, Department of Food Science and Technology, Nour Branch, Islamic Azad University, Nour, Iran, respectively.

2 and 4- Associate Professors, Department of Food Technology, Faculty of Agricultural Technology (Aburaihan), College of Agriculture and Natural Resources, University of Tehran, Pakdasht, Iran

(\*- Corresponding Author Email: [mirsaeed@ut.ac.ir](mailto:mirsaeed@ut.ac.ir))

### How to cite this article:

Received: 2022.11.29  
Revised: 2023.03.08  
Accepted: 2023.04.17  
Available Online: 2023.04.25

Yassari, S., Mirsaeedghazi, H., Roozbeh Nasiraie, L., & Fadavi, A. (2023). Evaluation of the fouling phenomenon during membrane clarification of apple juice using scraped surface membrane unit. *Iranian Food Science and Technology Research Journal*, 19(5), 723-743. (In Persian with English abstract).  
<https://doi.org/10.22067/ifstrj.2023.79693.1217>

### Introduction

As a useful fruit for humans, apple (*Malus domestica*) is a good source of antioxidants, minerals, ascorbic acid, vitamins, polyphenols, fibers and other essential elements with medicinal properties. Improving the storage time of apple juice and maintaining the stability of extracts with high Brix value (during transportation and storage) and its marketability by removing the remaining water as well as reducing the turbidity, viscosity and brown color caused by colloidal suspended solids. Large (pectin, protopectin, pigments, polymeric carbohydrates, tannin, starch, cellulose, hemicellulose, fibers, etc.) is of great importance. Due to the presence of colloidal suspended solid particles and compounds that settle over time (mold, bacteria, plant cell fragments, pectin-tannin complex), apple juice must be clarified before concentration. Due to the high-energy consumption, time-consuming, degradation of thermo-sensitive components, and reduction of nutritional value in traditional methods, recently, the use of membrane concentration in food and beverage production holds great potential. Despite all the benefits of membrane processes, one of the critical problems is permeate flux decline due to the concentration polarization and membrane fouling. In this study, an innovative mechanical motion was developed to remove the cake deposits on the membrane surface towards mitigating adverse effects of polarization and fouling.

### Materials and Methods

Membrane scraped surface module was designed and made with polyethylene material. The membrane was enclosed between the lower and upper parts of the module. These two parts are connected with screws and create a cylindrical part. Also, two caps are pressed axially to this cylindrical part by a metal frame to eliminate any unwanted leakage. The rotor shaft was coupled with an electric motor and the rotation of the output shaft was regulated by an inverter. A pump transferred the fresh fruit juice to the module through the inlet port and then it was divided into two output streams, permeate and retentate. The permeate was collected from the bottom of the module for further investigation and the retentate was returned to the juice tank. A polyethersulfone (PES) membrane with molecular weight cut-off (MWCO) of 4 kDa was used to clarify apple juice. Effects of the blade rotation speed (0, 600, 1400 and 2200 rpm), transmembrane pressure (TMP) (0.5, 1 and 1.5 bar), feed flow rate (FFR) (10, 15 and 20 ml/s) and the distance of the blade from the membrane surface (2 and 5 mm) on volumetric concentration factor (VCF) and fouling phenomenon were evaluated.



©2023 The author(s). This is an open access article distributed under [Creative Commons Attribution 4.0 International License \(CC BY 4.0\)](https://creativecommons.org/licenses/by/4.0/), which permits use, sharing, adaptation, distribution and reproduction in any medium or format, as long as you give appropriate credit to the original author(s) and the source.

<https://doi.org/10.22067/ifstrj.2023.79693.1217>

Hermia model was used to study the main fouling mechanism and it was verified by scanning electron microscopy (SEM) images.

### Results and Discussion

Results showed that rotating the blade with speed of 600 rpm at TMP of 0.5 bar, FFR of 10 ml/s and 2 mm distance from the membrane surface had the best performance in VCF and reducing fouling. The main mechanism of fouling was cake formation. Rotation of the blade decreases the intensity of cake formation and its thickness on the membrane surface and enhances the standard pore blocking. Also increasing the blade rotation speed changes the main fouling mechanism to the standard pore blocking due to the cake disintegration on the membrane surface and the penetration of fine particles into the membrane pores. As a result, the rotation of blade had a significant positive effect on increasing the VCF. On the other hand, the total resistance decreased with the rotation of the blade and by increasing the distance of blade from the membrane surface, the intensity of cake formation reduced. Also, the SEM images showed that in without blade rotation mode, the accumulation of cake particles on the membrane surface is thicker and denser than in with blade rotation mode. On the other hand, the low thickness of the cake layer formed on the membrane surface in the process of blade rotation is due to the turbulences resulting from the rotating blade. These observations confirm the results of the Hermia model in the previous sections.

### Conclusion

In conclusion, the TMP 0.5 bar, FFR of 10 ml/s, blade rotation speed of 600 rpm with a distance of 2 mm from membrane surface were considered as the best conditions for ultrafiltration of apple juice using scraped-surface membrane unit.

**Keywords:** Apple juice, Concentration polarization, Fouling, Membrane clarification, Scraped surface, VCF



## مقاله پژوهشی

جلد ۱۹، شماره ۵، آذر- دی ۱۴۰۲، ص. ۷۴۳-۷۲۳

# مطالعه پدیده گرفتگی در شفاف‌سازی غشایی آب سیب به کمک سامانه غشایی سطح تراش

سیما یساری<sup>۱</sup> - حسین میرسعیدقاضی<sup>۲\*</sup> - لیلا رزوبه نصیری<sup>۳</sup> - علی فدوی<sup>۴</sup>

تاریخ دریافت: ۱۴۰۱/۰۹/۰۸

تاریخ پذیرش: ۱۴۰۲/۰۱/۲۸

## چکیده

شفاف‌سازی آب میوه جهت بهبود خواص فیزیکوشیمیایی و بازارپسندی مهم است. به دلیل مصرف بالای انرژی، زمان بر بودن، تخریب ترکیبات حساس به حرارت و کاهش ارزش تغذیه‌ای در روش‌های سنتی، امروزه برای شفاف‌سازی آب میوه فرآیندهای غشایی به کار گرفته شده است. یکی از مشکلات مهم فرآیندهای غشایی، کاهش شار تراوه ناشی از قطبش غلظتی و گرفتگی غشا می‌باشد. در این مطالعه، یک روش مکانیکی جدید برای ایجاد تلاطم در جریان به منظور کاهش اثرات نامطلوب قطبش غلظتی و گرفتگی غشا ایجاد شد. بدین منظور، از غشا اولترافیلتر با جنس پلی‌اتر سولفون (PES<sup>۴</sup>) و حد وزن مولکولی (MWCO) ۴ کیلو دالتون درون سامانه غشایی با تیغه‌های تراشیده سطح جهت شفاف‌سازی آب سیب استفاده شد. اثر پارامترهای عملیاتی شامل سرعت دوران تیغه‌ها (۰، ۶۰۰، ۱۴۰۰ و ۲۲۰۰ دور بر دقیقه)، فشار (TMP<sup>۶</sup>) (۰/۵، ۱ و ۱/۵ بار)، سرعت جریان<sup>۷</sup> (FFR) (۱۰، ۱۵ و ۲۰ میلی‌لیتر بر ثانیه) و فاصله تیغه از سطح غشاء (۲ و ۵ میلی‌متر) بر فاکتور غلظت حجمی (VCF<sup>۸</sup>)، مقاومت گرفتگی، زمان وقوع هر کدام از مکانیسم‌های گرفتگی و مورفولوژی لایه کیک بررسی شد. طبق نتایج انجام فرایند در فشار ۰/۵، سرعت جریان ۱۰ میلی‌لیتر بر ثانیه، سرعت دوران تیغه‌ها ۶۰۰ دور بر دقیقه و فاصله ۲ میلی‌متری تیغه‌ها از سطح غشا بهترین تأثیر را بر VCF و کاهش گرفتگی داشت. مکانسیم اصلی گرفتگی در فرآیند، تشکیل لایه کیک بود. چرخش تیغه‌ها شدت تشکیل لایه کیک و ضخامت آن بر سطح غشا را کاهش داده و منجر به افزایش سهم گرفتگی استاندارد شد.

**واژه‌های کلیدی:** آب سیب، شفاف‌سازی غشایی، سامانه سطح تراش، قطبش غلظتی، گرفتگی، فاکتور غلظت حجمی

## مقدمه

اسید آسکوربیک، ویتامین‌ها، پلی‌فنل‌ها، فیبرها و سایر عناصر ضروری با خواص دارویی هست (Candrawinata et al., 2013 Khanali et al., 2020). بهبود مدت زمان انبارداری آب سیب و حفظ پایداری عصاره‌ها با ارزش بریکس بالا (طی حمل و نقل و ذخیره‌سازی) و بازارپسندی آن، از طریق حذف آب باقیمانده همچنین کاهش کدورت،

ایران به عنوان یکی از بزرگترین تولیدکنندگان سیب با تولید بیش از ۵٪ سیب جهان، سالانه حدود ۲۰۹۶۷۴۹ تن سیب را تأمین می‌کند (FAO, 2017). سیب (*Malus domestica*) به عنوان یک میوه مفید برای سلامت انسان‌ها حاوی منابع غنی از آنتی‌اکسیدان‌ها، مواد معدنی،

۱ و ۳- به ترتیب دانشجوی دکتری تخصصی علوم و مهندسی صنایع غذایی و استادیار، گروه علوم و مهندسی صنایع غذایی، دانشگاه آزاد واحد نور، نور، ایران

۲ و ۴- دانشیاران گروه فناوری صنایع غذایی، دانشکده فناوری کشاورزی (ابوریحان)، دانشکده‌گان کشاورزی و منابع طبیعی، دانشگاه تهران، پاکدشت، ایران

(\*)- نویسنده مسئول: Email: [mirsaeed@ut.ac.ir](mailto:mirsaeed@ut.ac.ir)

<https://doi.org/10.22067/ifstrj.2023.79693.1217>

4- Polyether sulfone

5- Molecular weight cut off

6- Trans membrane pressure

7- Feed flow rate

8- Volumetric concentration factor

نموده و پارامترهای عملیاتی و پدیده گرفتگی را مورد ارزیابی قرار داده است (جدول ۱). به عنوان مثال، فوکوموتو و همکاران (Fukumoto *et al.*, 1998) از فرآیندهای میکروفیلتراسیون با غشا با اندازه منافذ ۰/۲ میکرومتر و فراپالایش با غشاهایی از جنس سرامیکی با اندازه منافذ ۰/۲ میکرومتر در مازول لوله‌ای برای شفاف‌سازی آب سیب استفاده نمودند و گزارش کردند که غشاهای UF تحت شرایط بهینه (فشار ۴۱۴ کیلوپاسکال، سرعت ۸ متر بر ثانیه و دمای ۵۰ درجه سلسیوس) منجر به شار بیشتر و گرفتگی غشایی کمتر در مقایسه با غشاهای MF<sup>۲</sup> (میکروفیلتراسیون) شد. ولادیساولیویچ و همکاران (Vladislavljević *et al.*, 2003) تأثیر پارامترهای عملیاتی مانند سرعت جریان (FFR)، فشار (TMP) و دما را بر مقاومت گرفتگی طی شفاف‌سازی آب سیب با استفاده از غشاهای سرامیکی UF ارزیابی کردند. نتایج نشان داد هر دو مقاومت کل و مقاومت گرفتگی با افزایش FFR کاهش یافت؛ زیرا افزایش FFR ضریب انتقال جرم را افزایش داده و قطبش غلظتی و تجمع رسوب باقیمانده در سطح غشا را کاهش داد. تغلیظ آب سیب با استفاده از غشاهای مختلف نانوفیلتراسیون (NF<sup>۳</sup>) در مازول لوله‌ای و صفحه‌ای در فشارهای پایین (۸-۱۲ بار) توسط وارچوک و همکاران (Warczok *et al.*, 2004) مورد بررسی قرار گرفت. نتایج نشان داد که گرفتگی غیر قابل برگشت آب سیب نسبتاً کم است. دبروین و همکاران (de Bruijn *et al.*, 2006) مطالعه‌ای را برای تجزیه و تحلیل مکانیسم‌های گرفتگی طی فرایند UF آب سیب انجام دادند. آنها دریافتند که وقتی فرایند UF تحت TMP ۱۵۰ کیلوپاسکال و FFR ۷ متر بر ثانیه انجام می‌شود با کاهش تدریجی لایه کیک همراه است. اما در این مورد TMP نباید از فشار بحرانی تجاوز کند. همچنین شار بحرانی نباید بیشتر از  $250 \text{ Lm}^{-2}\text{h}^{-1}$  باشد. در این شرایط محققان نوع جدیدی از گرفتگی را توصیف کردند که در آن مسدود شدن منافذ غشایی در دهانه‌ی منافذ و تشکیل لایه کیک در سطح غشا بطور همزمان اتفاق می‌افتد. این نوع مدل گرفتگی پیش‌بینی می‌کند که تشکیل لایه کیک در FFR ۷/۴ متر بر ثانیه و TMP ۱۵۰ کیلوپاسکال یا FFR ۷ متر بر ثانیه و TMP ۱۲۰ کیلوپاسکال انجام نمی‌شود. تحت چنین شرایطی گرفتگی داخلی غشا تنها مکانیزمی بود که شار نفوذی را کاهش می‌داد. ژائو و همکاران (Zhao *et al.*, 2014) فرایند فراپالایش با یک غشا سرامیکی و اندازه منافذ ۰/۰۵ میکرومتر همراه با روش فرایند فشار بالا (HPP<sup>۴</sup>) در فشار ۵۰۰ مگاپاسکال به مدت ۶ دقیقه و روش دمای بالا-زمان کوتاه (HTST<sup>۵</sup>) در دمای ۱۱۰°C به مدت ۸/۶ ثانیه برای آب سیب تازه را مورد ارزیابی قرار دادند. آنها

ویسکوزیته و رنگ قهوه‌ای تیره ناشی از مواد جامد معلق کلوییدی بزرگ (پکتین، پروتوپکتین، رنگدانه‌ها، کربوهیدرات‌های پلیمریک، تانن، نشاسته، سلولز، همی سلولز، فیبرها و ...) از اهمیت زیادی برخوردار است (Bhattacharjee *et al.*, 2010; Onsekizoglu *et al.*, 2017a; *et al.*, 2017a). به دلیل وجود چنین ذرات جامد معلق کلوییدی و ترکیباتی که با گذر زمان ته‌نشین می‌شوند (همی سلولز، پروتئین، قطعات سلول گیاهی، کمپلکس پکتین-تانن) آب سیب باید قبل از تغلیظ، شفاف‌سازی شود (Massini *et al.*, 2018; Ahmad *et al.*, 2020). روش‌های مرسوم شفاف‌سازی آب میوه‌ها پیش تیمار آنزیمی، تبخیر حرارتی و تشکیل لخته توسط مواد کمکی و پکتین‌زدایی است (Gulec *et al.*, 2017; Onsekizoglu *et al.*, 2010; Ahmad *et al.*, 2020). با این حال، مصرف بالای انرژی، زمان‌بر بودن، سختی کار، تخریب اجزای حساس به حرارت نظیر ترکیبات فنولی و رنگدانه، تغییرات عطر و طعم و کاهش ارزش غذایی از معایب اصلی روش‌های فوق می‌باشد (Bahçeci, 2012). در سال‌های اخیر، از فن‌آوری جداسازی غشایی جهت شفاف‌سازی آب میوه‌ها به صورت موفقیت آمیزی استفاده شده‌است. جداسازی غشایی به دلیل کیفیت بالای محصول، بهره‌وری بالا و عملکرد آن در دمای محیط می‌تواند تأثیر مثبتی بر مصرف انرژی و کاهش هزینه عملیاتی داشته باشد (Castro-Muñoz *et al.*, 2018).

فراپالایش (UF<sup>۱</sup>) یکی از فن‌آوری‌های غشایی با نیروی محرکه فشار است که می‌تواند به منظور شفاف‌سازی آب میوه استفاده شود (Cai *et al.*, 2020). محدودیت اصلی فرایند UF کاهش شار تراوه به دلیل قطبش غلظتی و گرفتگی غشا می‌باشد (Iame and Singh, 2015; Castro-Muñoz *et al.*, 2018). گرفتگی منجر به کاهش نفوذپذیری غشا و همچنین نیاز به تمیز کردن و تعویض مکرر غشا می‌گردد و در نتیجه افزایش هزینه عملیاتی یا کاهش بهره‌وری را در پی خواهد داشت (Lu *et al.*, 2021; Dornier *et al.*, 2018; Castro-Muñoz *et al.*, 2019).

در طول چند دهه‌ی گذشته، تلاش‌های متعددی برای بهبود کارایی و کاهش گرفتگی غشا در شفاف‌سازی آب میوه از جمله روش‌های شیمیایی-قلیایی/اکسیدانی (Cheng *et al.*, 2021)، پیش تیمار آنزیمی پکتینولیتیک آب میوه‌ها (Gokmen and Cetinkaya, 2007; Echavarria *et al.*, 2011)، روش‌های فیزیکی و مکانیکی انجام شده است (Zarouk *et al.*, 2020; Zhang *et al.*, 2017).

مطالعات متعددی انجام شده است که تأثیر فرآیندهای غشایی مختلف با مدول‌های غشایی گوناگون بر فراوری آب سیب را بررسی

4- High-pressure processing  
5- High-temperature short time

1- Ultrafiltration  
2- Microfiltration  
3- Nanofiltration

منجر به کاهش گرفتگی غشا شد. همچنین آنها دریافتند که در روش RDM به کمک فرایالایش گرفتگی دو مرحله‌ای بود، گرفتگی در مرحله اول سرعت پایینی داشت و در مرحله دوم سرعت بالاتری داشته و به سمت تشکیل لایه کیک پیش رفت. در نتیجه در میان فن‌آوری‌های توسعه یافته، سامانه‌های فرایالایش با کمک RDM نسبت به بقیه تکنولوژی‌ها بهتر بوده، چون هزینه عملیاتی UF را کاهش داده و اثرات نامطلوب گرفتگی غشایی را کم می‌کند (Luo et al., 2013).

همانگونه که اشاره شد پدیده گرفتگی غشا مهمترین چالش در برابر صنعتی شدن فرایند شفاف‌سازی غشایی آب میوه‌ها است و علی‌رغم مطالعات مختلفی که در راستای کاهش آن صورت پذیرفته، استفاده محدودی از فنون مکانیکی برای جلوگیری از این پدیده شده است. مشابهت مشکل گرفتگی در سامانه‌های غشایی و معطل گرفتگی در مبدل‌های حرارتی باعث شد نویسندگان مقاله حاضر به فکر استفاده از ایده مورد استفاده در مبدل‌های حرارتی سطح تراش به منظور کاهش گرفتگی در سامانه‌های غشایی افتاده و اقدام به طراحی و ساخت سامانه غشایی سطح تراش بنمایند. البته ماهیت متفاوت سامانه نظیر ورودی خروجی‌های متفاوت و لزوم آب‌بندی سامانه طراحی شده پس از نصب غشا، طراحی و ساخت آن را از آنچه در خصوص مبدل‌های حرارتی سطح تراش انجام شد، متمایز می‌نمود. لذا در این تحقیق، با الهام از مبدل‌های حرارتی سطح تراش، سامانه غشایی سطح تراش طراحی و ساخته شد. این سامانه به جهت داشتن یکسری تیغه‌های تراشیده برای افزایش آشفته‌گی جریان جهت کاهش پلاریزاسیون غلظتی و گرفتگی غشا و در نهایت بهبود فرآیند شفاف‌سازی غشایی آب سیب استفاده شد و پدیده گرفتگی در حین فرایند مورد ارزیابی و بررسی قرار گرفت. همچنین اثر عملیاتی پارامترهای مختلف مانند سرعت چرخش تیغه‌ها، FFR، TMP و فاصله تیغه از سطح غشا بر مقاومت‌های گرفتگی و مکانیسم آنها در طول فرایالایش آب سیب مورد بررسی قرار گرفت.

## مواد و روش‌ها

### آماده‌سازی آب سیب

سیب تازه (واریته گرانتی اسمیت) از بازار محلی تهران تهیه شد و پس از شستشوی کامل و پوست‌گیری، آب آن توسط دستگاه آبمیوه گیری خانگی (Parskhazar, model Tiger, Iran) استخراج شد.

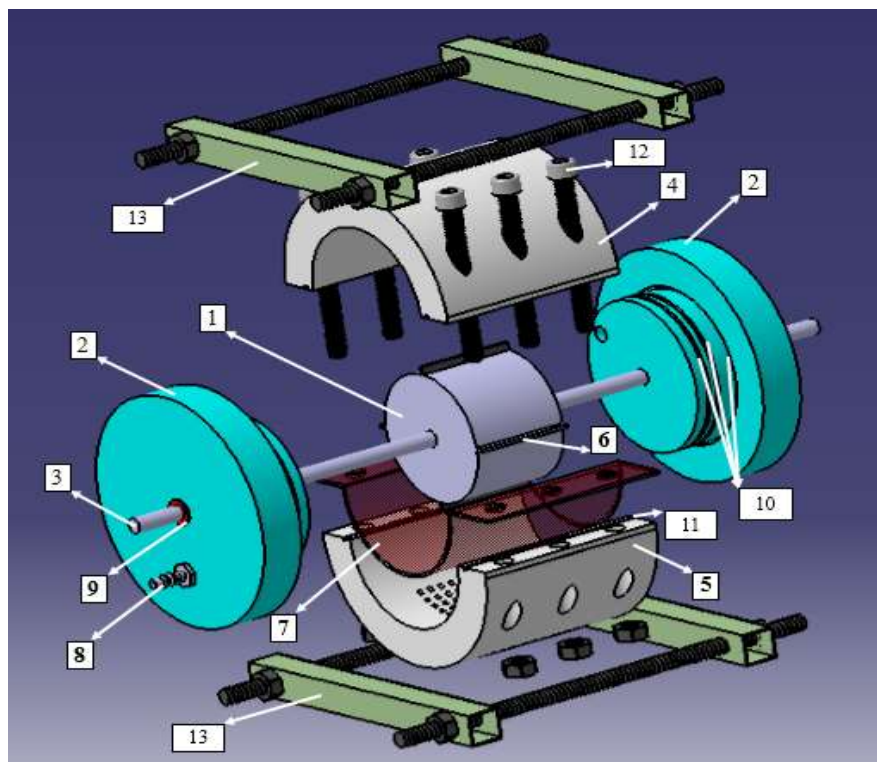
گزارش کردند که UF+HPP می‌تواند به‌عنوان تیمار بهتری برای فراوری آب سیب استفاده شود. سرکار (Sarkar, 2015) از یک سیستم فرایالایش با غشا پلی‌اتر سولفون با حد وزن مولکولی ۳۰ کیلو دالتون با کمک میدان الکتریکی برای بررسی اثر میدان الکتریکی جریان مستقیم (DC) بر شار نفوذی آب سیب تیمار شده با آنزیم استفاده کرد. آنها افزایش شار  $\% 35/8$  را با اعمال میدان الکتریکی ۴۰۰ ولت بر متر برای مقادیر ثابت سرعت جریان  $0/75$  متر بر ثانیه مشاهده کردند. همچنین در فشار انتقال غشایی  $5/52$  بار شفافیت آب سیب بطور قابل توجهی افزایش یافت. زروک و همکاران (Zarouk et al., 2020) به بررسی اثر میدان مغناطیسی بر بازده و مکانیسم گرفتگی طی شفاف‌سازی غشایی آب انار پرداختند. در این روش از ترکیب سامانه تولید میدان مغناطیسی و میکروفیلتراسیون جهت کاهش گرفتگی غشا استفاده شد. نتایج آنها نشان داد، میدان مغناطیسی می‌تواند میزان مقاومت کل غشا را تا حدود  $\% 50$  کاهش دهد. با توجه به تجزیه و تحلیل مکانیسم گرفتگی غشا در ابتدای فرآیند، با افزایش شدت میدان مغناطیسی گرفتگی‌های میانی و استاندارد مکانیسم غالب بودند اما با گذر زمان تشکیل لایه کیک مکانیسم غالب شد.

محققان از فن‌آوری فرایالایش با کمک ماژول دیسکی دوار (RDM<sup>۲</sup>) برای فراوری آب کاسنی، آب چغندر قند، آب یونجه، تغلیظ عصاره قهوه، پروتئین شیر، بازیابی مخمر، نوشیدنی‌های الکلی، تولید آب آشامیدنی و فاضلاب لبنیات استفاده کردند (Laurio et al., 2021; Szerencsés et al., 2021; Zhu et al., 2013, 2016; Zhang et al., 2017). در این روش که لایه نگهدارنده غشا به صورت مکانیکی حرکت داده می‌شود، در مایعات نزدیک سطح غشا باعث ایجاد سرعت برشی بالاتر می‌شود. در مقایسه با فرایندهای غشایی مرسوم، این روش می‌تواند شدت جداسازی را با برداشتن عوامل گرفتگی و حذف آنها از سطح غشا افزایش دهد و منجر به کاهش موثر لایه پلاریزاسیون غلظتی و گرفتگی غشا شود (Szerencses et al., 2021). ژو و همکاران (Zhu et al., 2014) روش RDM به کمک فیلتراسیون ته بسته (مخزن ۱۸۰ میلی لیتر) را با روش RDM به کمک غشا UF ۵۰ کیلو دالتون برای شفاف‌سازی آب کاسنی مقایسه کردند، روش اول تحت شرایط بهینه TMP ۳/۳۴ بار و سرعت چرخش ۲۰۰۰ دور در دقیقه از لحاظ فیلتراسیون بهتر عمل کرده است، و مزایایی نظیر خلوص بیشتر با شار تراوه  $167/9 \text{ L.m}^{-2}\text{h}^{-1}$ ، انرژی ویژه  $169/4 \text{ kwh.m}^{-3}$ ، نسبت کاهش حجم (VRR<sup>۳</sup>) و کدورت کمتر ( $2/4 \text{ NTU}$ ) داشت و

جدول ۱- مطالعات انجام شده در مورد فرآیندهای غشایی آب سیب  
Table 1- Literature review on the membrane processing of apple juice

Membrane system سیستم غشایی	Membrane type نوع غشا	Optimal operating parameters			Fouling resistance مقاومت گرفتگی	Fouling mechanism مکانیسم گرفتگی	Ref. منبع
		TMP (bar) فشار	FFR (m/s) دبی	Temperature (°C) دما			
Tubular لوله‌ای	Ceramic, 50 & 300 kDa	2	0.5	20	√	×	Vladislavljevic <i>et al.</i> (2003)
Tubular لوله‌ای	PVDF, 18 kDa	2.5	1	50	×	×	Yazdanshenas <i>et al.</i> (2005)
Tubular لوله‌ای	Ceramic, 15 & 50 kDa	1.5	7	55	×	√	Bruijn <i>et al.</i> (2006)
Plate & frame قاب و صفحه	PES, 50 kDa	1-3	2.5	50	×	×	He <i>et al.</i> (2007)
Flat plate صفحه‌ای	PES, 10 & 100 kDa	1-3	0.1	25	×	×	Onsekizoglu <i>et al.</i> (2010)
Plate & frame قاب و صفحه	PES 200 cm <sup>2</sup> , UF 10 kDa	3	-	40	√	×	Bahçeci (2012)
Tubular ceramic UF-membrane غشا فرایالایش سرامیکی لوله‌ای	100 (1-channel) -300 (3-channels) Zirconium dioxide (ZrO <sub>2</sub> )	3.5	13.5 L/h	50	×	×	Echavarría <i>et al.</i> (2012)
Tubular لوله‌ای	Polymeric, 0.3 µm	2	-	-	×	×	Aguiar <i>et al.</i> (2012)
Dead-end filtration فیلتراسیون انتها بسته Electro- Ultrafiltration الکترو-فرایالایش	Polyamide, 0.2-0.45 µm, mix of cellulose acetate and cellulose nitrate, 0.45 µm	0.69-3.45	-	-	√	×	Fuenmayor <i>et al.</i> (2014)
Plasma modified membrane ultrafiltration فرایالایش با غشا پهنود یافته توسط پلاسما	PS, 228 cm <sup>2</sup> , 30 kDa PS, 0.0140 cm <sup>2</sup> , 100 kDa	2.76-6.9 2.5	0.6-1.0 -	55 -	√ √	×	Sarkar (2015) Gulec <i>et al.</i> (2018)
UF system سامانه فرایالایش	PES-10 kDa	7.5	10 L/h	25	×	×	Cai <i>et al.</i> (2020)
Scraped surface ultrafiltration فرایالایش با سامانه سطح تراش	PES-4 kDa	0.5	10 ml/s	25	√	√	Current study مطالعه حال حاضر





شکل ۱- نقشه انفجاری قسمت‌های مختلف ماژول طراحی شده، (۱) رتور، (۲) در پوش، (۳) محور، (۴) پوسته بالایی ماژول، (۵) پوسته پایینی سوراخ‌دار ماژول، (۶) تیغه، (۷) غشا، (۸) درگاه (سرشستگی)، (۹) آب‌بند (کاسه نمد)، (۱۰) آرنینگ، (۱۱) آب‌بند طولی، (۱۲) پیچ، (۱۳) قاب تحکیم‌کننده  
 Fig. 1- The exploded parts of designed module 1) Rotor, 2) Cap, 3) Shaft, 4) Upper part of module, 5) Lower meshed part of module, 6) Blade, 7) Membrane, 8) Port, 9) Packing, 10) O ring, 11) Longitudinal sealing, 12) Bolt, 13) Pressurized frame

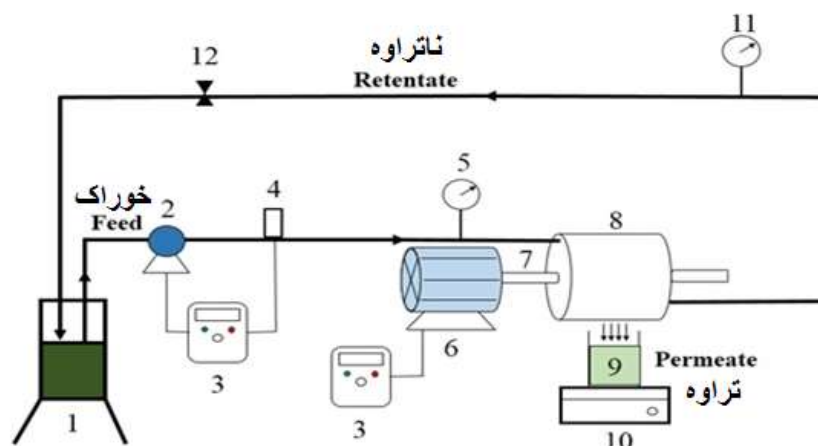
از اثر دورانی تیغه‌ها و پمپ، از غشا و سپس از پوسته سوراخ‌دار پایینی ماژول گذر نموده که تراوه فرایند را ایجاد می‌نمود. مابقی خوراک با توجه به ساختار، به عنوان ناتراوه از درگاه دیگر به مخزن آب میوه بازگردانده شد. تراوه برای بررسی بیشتر توزین و جمع‌آوری شد.

#### سامانه شفاف‌سازی غشایی

شماتیک کل اجزا سامانه در شکل ۲ نمایش داده شده است. غشا صفحه‌ای پلی‌اتر سولفون (PES) با اندازه منفذ ۴ کیلو دالتون با سطح فعال  $10^{-2} \times 1/12$  متر مربع در یک ماژول سطح تراش در مقیاس آزمایشگاهی استفاده شد. در این سامانه، جریان خروجی از ماژول با یک شیر دستی تنظیم و با استفاده از فلومتر اندازه‌گیری شد و فشار با استفاده از یک اینورتر کوپل شده به ترانس‌میتور تنظیم شد. یک پمپ پره‌ای دوار (PROCON, Series 2, Milano, Italy) برای انتقال آب میوه به ماژول غشایی استفاده شد و ناتراوه به مخزن تغذیه برگشت داده شد. یک ترازوی دیجیتال (A&D CO., LTD, EK-2000, Japan) با دقت ۰/۱ گرم برای اندازه‌گیری وزن تراوه استفاده شد. فشار خوراک و ناتراوه با استفاده از دو فشارسنج اندازه‌گیری شد.

#### ماژول سطح تراش ساخته شده

ماژول غشایی سطح تراش با جنس پلی‌اتیلن طراحی و ساخته شد (شکل ۱). غشاء بین پوسته پایین و بالایی مدول محصور گردید. این دو قسمت با پیچ به هم متصل شده و قسمت استوانه‌ای را تشکیل دادند. بین این دو قسمت، آب‌بندی طولی قرار گرفت تا از نشت مایع از بین این دو قطعه جلوگیری گردد. برای بستن دو انتهای این استوانه و تشکیل محفظه بسته، دو درپوش و روی بدنه این درپوش‌ها آرنینگ برای جلوگیری از نشتی در نظر گرفته شد. برای جلوگیری از حرکت طولی درپوش‌ها و آب‌بندی بهتر، دو قاب فلزی (یکی بالا و دیگری پائین محور) به صورت محوری این دو درپوش را توسط چهار پیچ به استوانه فشرده کرد تا هرگونه حرکت محوری درپوش‌ها و نشتی ناخواسته را از بین ببرد. محور روتور با یک جفت‌کننده<sup>۱</sup> با الکتروموتور (Motogen, Tabriz, Iran) درگیر شد. سرعت دوران محور خروجی موتور توسط یک اینورتر (SV004ic5-1, Korea) تنظیم گردید. یک پمپ پره‌ای دوار (PROCON, Series 2, Milano, Italy)، آب میوه تازه را از طریق درگاه ورودی واقع بر روی درپوش به درون ماژول منتقل نمود. مقداری از آب میوه ورودی در اثر دوران روتور و فشار ناشی



شکل ۲- شماتیکی از سامانه فرایالایش سطح تراش (۱- مخزن تغذیه ۲- پمپ ۳- اینورتور ۴- ترانسسمیتر ۵- فشارسنج ورودی ۶- الکتروموتور ۷- جفت کننده ۸- مازول سطح تراش ۹- مخزن تراوه ۱۰- ترازو ۱۱- فشارسنج خروجی ۱۲- شیر تنظیم دبی جریان)

Fig. 2- Schem of scraped-surface membrane ultrafiltration system: 1- Feed tank, 2- Pump, 3- Inverter, 4- Transmitter, 5- Input pressure gauge, 6- Electromotor, 7- Shaft, 8- Scraped surface module, 9- Permeate tank, 10- Balance, 11- Output pressure gauge, 12- Flow control valve

#### محاسبه مقاومت‌های مختلف غشا

مقاومت کل غشاء از مقاومت‌های مختلفی تشکیل شده که در رابطه زیر به آن‌ها اشاره شده است:

$$R_t = R_m + R_c + R_{firr} + R_{frev} \quad (2)$$

که در آن  $R_m$  مقاومت غشاء تازه،  $R_c$  مقاومت لایه کیک،  $R_{frev}$  مقاومت گرفتگی قابل برگشت و  $R_{firr}$  مقاومت گرفتگی غیر قابل برگشت است که همه مقاومت‌ها بر حسب  $m^{-1}$  محاسبه و گزارش شدند. برای محاسبه‌ی هر کدام از مقاومت‌ها، بعد از فرآیند به ترتیب مراحل شستشو با آب، شستشو با سود ۰/۵ درصد و شستشو با اسید استیک ۰/۱ درصد همگی در کمترین فشار و بیشترین دبی به مدت نیم ساعت انجام شده و مقدار مقاومت‌ها به شیوه‌ی زیر محاسبه شد.

مقاومت داخلی غشاء ( $R_m$ ) مقاومتی است که توسط خود غشاء در

برابر عبور ترکیبات اعمال می‌شود و از رابطه زیر محاسبه می‌شود:

$$R_m = \frac{1}{\mu_w L_p^0} \quad (3)$$

که در آن  $\mu_w$  ویسکوزیته آب (Pa.s) و  $L_p^0$  نفوذپذیری هیدرولیک غشاء تازه ( $m \text{ Pa}^{-1} \text{ s}^{-1}$ ) است که از معادله ۴ بدست می‌آید.

$$L_p^0 = \frac{J_w}{\Delta P} \quad (4)$$

که در آن  $J_w$  شار آب در غشاء تازه ( $m \text{ s}^{-1}$ ) و  $\Delta P$  فشار انتقال غشائی بر حسب Pa می‌باشد.

مقدار مقاومت کل ( $R_t$ ) از رابطه زیر بدست آمد:

$$R_t = \frac{1}{\mu_w \times L_p^1} \quad (5)$$

#### متغیرهای مورد بررسی در آزمون‌ها

متغیرهای انتخاب شده عبارتند از:

- فشار جریان در سه سطح (۱/۵ و ۱ و ۰/۵ بار)
- دبی جریان در سه سطح (۱۵، ۱۰ و ۵ میلی لیتر بر ثانیه)
- سرعت دوران تیغه مرکزی در چهار سطح (۰، ۶۰۰، ۱۴۰۰ و ۲۲۰۰ دور بر دقیقه). یک سرعت سنج نوری- مکانیکی (Lutron, DT-2236, Taiwan) برای تعیین سرعت روتور استفاده شد.
- فاصله نوک تیغه تا سطح غشاء در دو سطح (۲ و ۵ میلی متر)

#### تئوری

##### فاکتور غلظت حجمی (VCF)

VCF یک پارامتر عملیاتی بسیار مهم جهت کاربرد تکنولوژیکی صنعتی می‌باشد (Echavarría et al., 2011) که بازده کلی فرآیند فرایالایش را در حین شفاف سازی آب میوه نشان می‌دهد. این فاکتور به صورت حجم اولیه آب میوه تقسیم بر حجم ناتراوه در زمان‌های مختلف تعریف شده و با استفاده از معادله (۱) محاسبه می‌شود.

$$VCF = 1 + \frac{V_p}{V_r} = \frac{V_f}{V_r} \quad (1)$$

در این رابطه  $V_p$  و  $V_r$  به ترتیب حجم اولیه تغذیه، تراوه و ناتراوه بر حسب  $m^3$  می‌باشند (Echavarría et al., 2011).



بسته به شرایط در هر زمان یک مکانیسم غالب است (Mirzaeighazi et al., 2010; Sarlaki et al., 2020). برای اینکه بدانیم در هر زمان کدام مکانیسم غالب است هم‌رابطه‌ای را به شکل زیر ارائه نموده است:

$$\frac{d^2t}{dv^2} = k \left( \frac{dt}{dv} \right)^i \quad (11)$$

در رابطه بالا  $t$  زمان،  $k$  ضریب گرفتگی،  $i$  اندیس بلوکه شدن و  $v$  حجم تراوه است. مقدار  $i$  نشان‌دهنده مکانیسم بلوکه شدن است. بدین صورت که:

(الف) اگر  $i=0$  باشد، مکانیسم غالب تشکیل کیک است.

(ب) اگر  $i=1$  باشد، مکانیسم غالب بلوکه شدن میانی است.

(ج) در صورتی که  $i = 1.5$  باشد، بلوکه شدن استاندارد مکانیسم غالب است.

(د) زمانی که  $i=2$  باشد، مکانیسم غالب بلوکه شدن کامل است (Hermia, 1982)

## مطالعه ریزساختار توسط میکروسکوپ الکترونی روبشی (SEM)

مطالعه ریز ساختاری غشا به منظور بررسی لایه گرفتگی روی غشا و در عرض آن انجام شد. عکسهایی از سطح یا برش عرضی غشاء قبل و بعد از فرآیند توسط میکروسکوپ الکترونی نوع SEM (مدل XL30 ساخت شرکت فیلیپس از کشور هلند) تهیه شد. روش نشان دادن طلا ترسیب بخار فیزیکی بود. نام دستگاه لایه نشانی طلای مورد استفاده روکش دهنده سریع (بال تکنولوژی، مدل SCDOOS، سوئیس) بود.

## آزمون آماری

تمام آزمون‌ها در سه تکرار انجام شد و مقادیر میانگین گزارش شده است. تجزیه و تحلیل آماری داده‌ها با استفاده از تحلیل واریانس یک طرفه (ANOVA) انجام شد. نرم‌افزار Minitab 15 برای مقایسه داده‌ها با استفاده از آزمون‌های چند دامنه‌ای دانکن استفاده شد.

## نتایج و بحث

### آنالیز فاکتور غلظت حجمی (VCF)

اثرات پارامترهای عملیاتی فشار (TMP)، سرعت جریان (FFR)، سرعت چرخش تیغه‌ها و فاصله تیغه از سطح غشا بر فاکتور غلظت حجمی (VCF) طی فرآیند شفاف‌سازی آب سیب به کمک ماژول سطح تراش در شکل ۳ نشان داده شده است. نتایج نشان داد که میزان VCF با افزایش سرعت چرخش تیغه تا ۲۲۰۰ دور در دقیقه، تا مقدار ۱/۶۳ افزایش یافت (شکل ۳-الف) که ناشی از تلاطم بالاتر جریان در داخل ماژول است که منجر به قطبش غلظتی پایین‌تر و در نتیجه

که در آن  $L_p^1$  نفوذپذیری هیدرولیک غشاء بعد از فرآیند با آب سیب است و از رابطه‌ی زیر بدست می‌آید:

$$L_p^1 = \frac{J_w}{\Delta P} \quad (6)$$

که در آن  $J_w^1$  شار آب بعد از فرآیند با آب سیب می‌باشد.

مقدار مقاومت گرفتگی غیر قابل برگشت ( $R_{frr}$ ) از رابطه زیر بدست آمد:

$$R_m + R_{frr} = \frac{1}{\mu_w L_p^4} \quad (7)$$

$$L_p^4 = \frac{J_w^4}{\Delta P} \quad (8)$$

که در آن  $L_p^4$  نفوذپذیری هیدرولیک اندازه‌گیری شده بعد از شستشو با اسید است که در آن  $J_w^4$  شار آب بعد از شستشو با اسید می‌باشد.

مقدار مقاومت گرفتگی قابل برگشت ( $R_{frev}$ ) از رابطه زیر بدست می‌آید:

$$R_m + R_{frev} + R_{frr} = \frac{1}{\mu_w L_p^4} \quad (9)$$

که در آن  $L_p^2$  نفوذ پذیری هیدرولیک اندازه‌گیری شده بعد از شستشو با آب است.

تنها مقاومت باقیمانده مقاومت کیک است که از کم نمودن مجموع مقاومت‌های داخلی غشاء، گرفتگی قابل برگشت و گرفتگی غیرقابل برگشت از مقاومت کل بدست می‌آید (Mirzaeighazi et al., 2010).

$$R_c = R_t - R_{frev} - R_{frr} - R_m \quad (10)$$

## مکانیسم‌های گرفتگی

چهار مکانیسم اصلی برای گرفتگی غشا وجود دارد که شامل بلوکه شدن کامل، بلوکه شدن میانی، تشکیل کیک و بلوکه شدن استاندارد می‌باشند.

هرمیا (Hermia, 1982) قانونی را ایجاد نمود که با استفاده از آن می‌توان تشخیص داد که کدامیک از مکانیسم‌های بالا غالب است. بر طبق این قانون از ساختار منحنی تغییرات حجم تراوه ( $v$ ) نسبت به زمان ( $t$ ) می‌توان به مکانیسم گرفتگی غالب در فرآیند پی برد. بدین صورت که:

(الف) در صورتی که منحنی  $t/v$  نسبت به  $v$  خطی باشد مکانیسم تشکیل کیک مکانیسم غالب است.

(ب) در صورتی که منحنی  $t/v$  نسبت به  $t$  خطی باشد مکانیسم بلوکه شدن استاندارد غالب است.

(ج) زمانی که بلوکه شدن میانی مکانیسم غالب است منحنی  $Ln(t)$  نسبت به  $v$  خطی خواهد بود.

سه قانون بالا مکانیسم گرفتگی غالب را در کل فرآوری نشان می‌دهد اما در هر فرآیند تمامی مکانیسم‌ها می‌توانند تأثیرگذار باشند و

نتیجه یک لایه ضخیم و فشرده کیک ایجاد شده و شار تراوه عمدتاً توسط لایه کیک کنترل می‌شود و مستقل از نفوذپذیری غشا است. بنابر این نرخ‌های برشی بالاتر می‌تواند تجمع املاح در سطح غشا را کاهش دهد و در نتیجه مقاومت کل را کاهش دهد که منجر به این می‌شود که شار تراوه در TMP ثابت متناسب با سرعت چرخش شود. با این حال نرخ برش بیش از حد، هدر رفت انرژی و سایش تجهیزات را به همراه دارد.

طبق بررسی کسانو و همکاران (Cassano *et al.*, 2018) یک رابطه خطی بین VCF و ترکیبات فعال زیستی بازیافتی در آب میوه شفاف شده وجود دارد. همچنین اچاواریا و همکاران (Echavarría *et al.*, 2012) بالاترین VCF را به میزان ۱/۵۸ برای فرآیند فراپالایش و اسمز معکوس آب سیب گزارش دادند که از VCF حاصل در تحقیق حاضر در دور بالای تیغه کمتر بود. در مطالعه‌ای دیگر باتاچارجی و همکاران (Bhattacharjee *et al.*, 2017b) بر روی آب هندوانه نشان دادند که پس از رسیدن VCF نهایی به ۲، شار تراوه اولیه از  $L.m^{-2}h^{-1}$  به  $18 \times 10^{-1}$   $L.m^{-2}h^{-1}$  (۴۲٪) کاهش یافت. در این مطالعه بالاترین میزان VCF ۱/۶۳ تحت TMP ۰/۵ بار و سرعت دوران تیغه‌ها ۲۲۰۰ دور در دقیقه با زمان فرآیند ۱ ساعت به‌دست آمد. مقدار بیشتر VCF در این مطالعه در مقایسه با سایر مطالعات بر روی آب سیب نشان دهنده‌ی پلاریزاسیون غلظتی کمتر و گرفتگی کمتر در فرآیند بوده که عملکرد خوب واحد غشایی سطح تراش را در شفاف‌سازی آب سیب ثابت می‌کند.

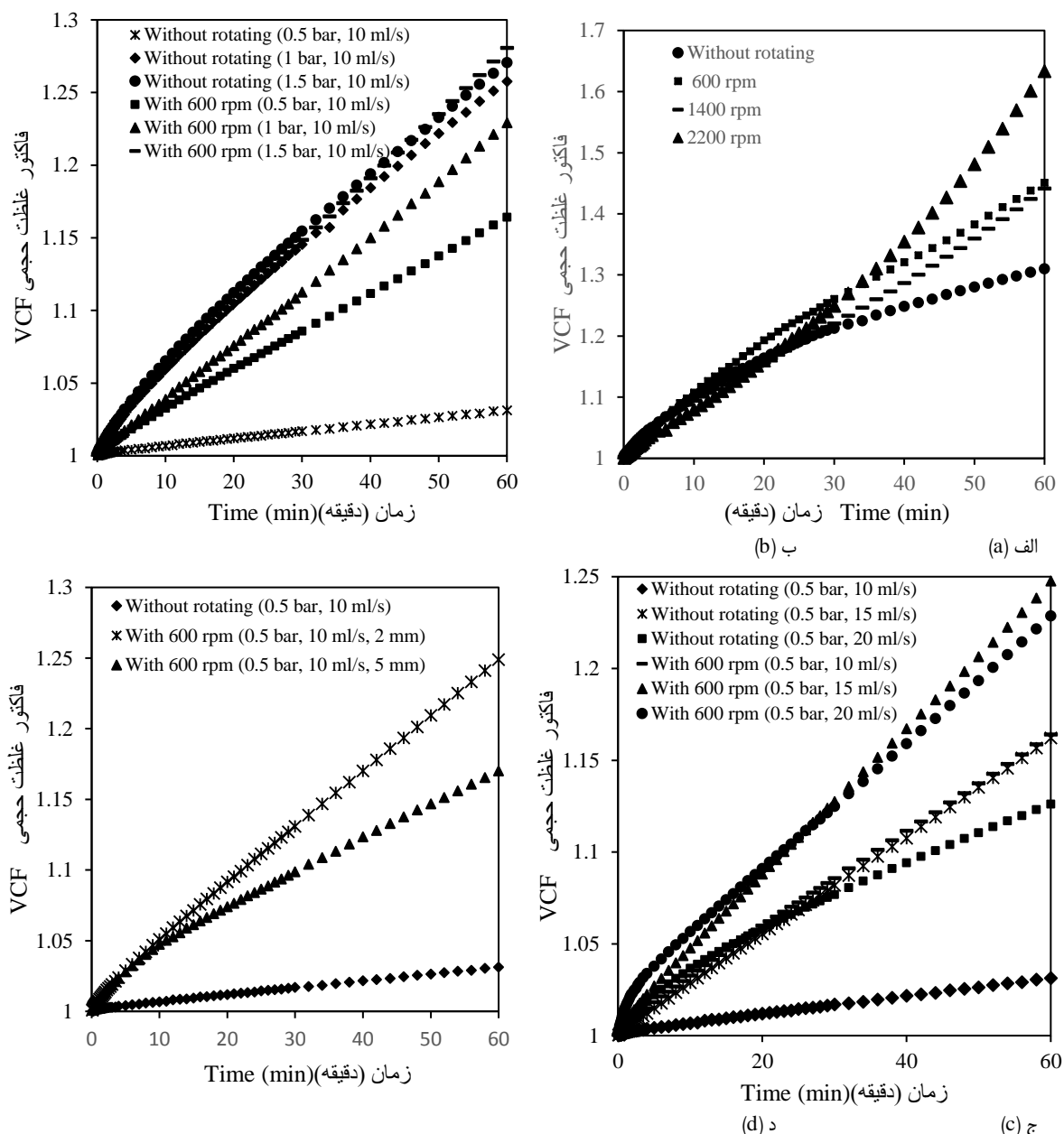
### آنالیز مقاومت‌های گرفتگی

بررسی مقاومت‌های مختلف نشان داد که تمامی مقاومت‌ها در فرآیند UF با چرخش تیغه در مقایسه با شرایط بدون چرخش پایین‌تر بوده است (شکل ۴). مطالعه اثر بخشی فشار بر تغییرات مقاومت‌ها نشان داد که در شرایط بدون چرخش تیغه با FFR ثابت  $10 \text{ ml s}^{-1}$  مقاومت کل، مقاومت برگشت‌پذیر و مقاومت غیرقابل برگشت با افزایش TMP از ۰/۵ بار به ۱ بار، کاهش یافت. اما با افزایش TMP از ۱ بار به ۱/۵ بار، تمامی مقاومت‌های ذکر شده به همراه مقاومت کیک افزایش یافت. اما با اعمال چرخش تیغه به میزان ۶۰۰ دور در دقیقه در TMP ۰/۵ بار، مقاومت کل به اندازه ۷۱/۷۸٪ کاهش یافت.

گرفتگی غشایی کمتر در سرعت چرخش بالاتر می‌شود. مطالعات نشان داده است که شار تراوه در شفاف‌سازی آب میوه‌ها توسط سامانه UF تحت تأثیر VCF قرار می‌گیرد. VCF‌های بالا را می‌توان در آب میوه‌هایی با پالپ کمتر مانند آب سیب و آب انگور به‌راحتی بدست آورد. برای آب میوه‌هایی با پالپ بالا، مانند میوه‌های استوایی مقایسه VCF پایین‌تر است. بازده آب میوه بازیابی شده  $(1 - \frac{1}{VCF})$  یک پارامتر اقتصادی در صنایع است (Cassano *et al.*, 2018). مطالعه اخیر نشان داد که طراحی و ساخت ماژول‌های سطح تراش می‌تواند در افزایش VCF کمک شایانی بنماید.

بررسی اثر فشار (TMP) بر میزان اثر بخشی چرخش تیغه در سامانه سطح تراش بر راندمان فرایند نشان داد که در TMP پایین (۰/۵ بار) با سرعت چرخش ۶۰۰ دور در دقیقه تیغه‌ها، VCF بطور قابل توجهی بالاتر از حالت بدون چرخش در شرایط یکسان است. این تفاوت در فشارهای بالاتر مشاهده نشد (شکل ۳-ب). همچنین مطالعه اثر دبی جریان بر میزان اثر بخشی سامانه نشان داد که چرخش تیغه‌ها در سامانه طراحی شده در مواقعی که دبی جریان پایین باشد بیشتر است (شکل ۳-ج). دلیل این نتیجه را می‌توان در افزایش تلاطم جریان به واسطه دبی‌های بالای حجمی دانست که می‌تواند اثر بخشی چرخش تیغه‌ها در سامانه طراحی شده را کاهش دهد. با بررسی اثر فاصله لبه تیغه با سطح غشا مشاهده شد که کاهش این فاصله می‌تواند اثر بخشی آن در افزایش VCF را بهبود بخشد. به عبارت دیگر در سامانه‌هایی که فاصله لبه تیغه با سطح غشا کمتر است اثر بخشی چرخش تیغه بر راندمان سامانه بیشتر می‌شود. دلیل این مشاهده را می‌توان تمرکز تلاطم جریان ایجاد شده توسط تیغه در حجم کنترل محدودتر و البته نزدیکتر به لایه مرزی سطح غشا دانست (شکل ۳-د).

لو و همکاران (Lou *et al.*, 2013) دریافتند در سرعت چرخشی ۲۰۰۰ و ۱۵۰۰ دور در دقیقه طی فرآیند UF آب کاسنی به کمک RDM، میزان VCF با اندازه منافذ افزایش یافت. در حالی که در شرایط ۵۰۰ دور در دقیقه تقریباً مستقل از غشا بود. آنها اظهار داشتند این پدیده را می‌توان با مکانیسم‌های گرفتگی در نرخ‌های برشی مختلف توضیح داد. بر این اساس در سرعت چرخش بالا، از آنجایی که لایه کیک ناچیز است شار تراوه تحت تأثیر نفوذپذیری غشا هست (اندازه منافذ، آب دوستی) در حالی که در سرعت چرخش پایین رسوبات مانند پکتین، پروتئین و مواد جامد معلق به‌راحتی بر روی غشا رسوب می‌کنند و در



شکل ۳- تأثیر پارامترهای مختلف بر فاکتور غلظت حجمی (VCF) در طی فرآیند فرایایش آب سیب به کمک سامانه سطح تراش: (الف) سرعت چرخش تیغه‌ها، (ب) فشار، (ج) سرعت جریان، (د) فاصله تیغه‌ها از سطح غشا

Fig. 3- Effect of different parameters on volumetric concentration factor (VCF) during UF-processing of apple juice with scraped-surface system; a: blade speed, b: TMP, c: FFR and d: blade distance from membrane surface

نتیجه ذرات بیشتری به سمت سطح غشا حرکت می‌کنند که باعث کاهش اثر بخشی تلاطم حاصل از چرخش تیغه و در نتیجه افزایش مقاومت‌های فوق می‌شود. این نتایج مطابق با نتایج نوربخش و همکاران (Nourbakhsh *et al.*, 2014)، حجت‌پناه و همکاران (Hojjatpanah *et al.*, 2011)، میرسعیدقازی و همکاران (Mirsaeedghazi *et al.*, 2010) بود.

همچنین مقاومت برگشت‌پذیر، مقاومت غیرقابل برگشت و همچنین مقاومت کیک به ترتیب ۸۱/۴۸، ۸۶/۳ و ۳۴/۸۷ درصد کاهش نشان دادند. لازم به ذکر است مقاومت کل، مقاومت کیک و مقاومت غیرقابل برگشت در TMP ۱/۵ بار به طور قابل ملاحظه‌ای بالاتر از TMP ۰/۵ بار در حالت چرخش تیغه ۶۰۰ دور در دقیقه بود. دلیل این پدیده این است که با افزایش TMP نیروی محرکه بیشتر شده و در

نوربخش و همکاران (Nourbakhsh *et al.*, 2014) اثرات TMP را بر مقاومت گرفتگی طی میکروفیلتراسیون آلوی قرمز و هندوانه ارزیابی کردند و متوجه شدند که مقاومت‌های کیک، برگشت‌پذیر و برگشت‌ناپذیر با افزایش TMP بطور قابل ملاحظه‌ای افزایش می‌یابند. در مطالعه‌ای دیگر، کاسانو و همکاران (Cassano *et al.*, 2007) مشاهده کردند که سهم مقاومت برگشت‌پذیر در مقایسه با مقاومت غیرقابل برگشت در فرایلاش آب کیوی بسیار مهم‌تر بوده است. گولک و همکاران (Gulec *et al.*, 2018) گزارش کردند که میزان مقاومت برگشت‌پذیر در شفاف‌سازی غشایی آب سیب توسط UF زیاد است. آنها بیان کردند که ۸۶٪ از مقاومت کل به مقاومت برگشت‌پذیر مربوط بوده در حالی که ۱۴٪ از مقاومت کل به مقاومت غیرقابل برگشت مربوط است که نشان دهنده میزان جذب کمتر رسوب‌ها در داخل منافذ غشا است.

در مطالعه حاضر نتایج نشان داد که بیشترین کاهش در مقاومت کل در سرعت چرخش تیغه‌ها ۲۲۰۰ دور در دقیقه به میزان ۷۰/۹۶٪ و کمترین میزان کاهش در مقاومت کل در سرعت چرخش تیغه‌ها ۱۴۰۰ دور در دقیقه به میزان ۶۶/۶۶٪ دیده شد. همچنین بیشترین کاهش در مقاومت برگشت‌پذیر در سرعت چرخش تیغه‌ها ۲۲۰۰ دور در دقیقه به میزان ۹۸/۸٪ و کمترین کاهش در مقاومت برگشت‌پذیر در سرعت چرخش تیغه‌ها ۶۰۰ دور در دقیقه به میزان ۴۶٪ بود. بیشترین کاهش در مقاومت برگشت‌ناپذیر در سرعت چرخش تیغه‌ها ۶۰۰ دور در دقیقه به میزان ۸۱/۶۹٪ و کمترین میزان کاهش گرفتگی برگشت‌ناپذیر در سرعت چرخش تیغه‌ها ۲۲۰۰ دور در دقیقه به میزان ۶۶/۴۷٪ بود. بیشترین کاهش در مقاومت کیک در سرعت چرخش تیغه‌ها ۶۰۰ دور در دقیقه به میزان ۶۵/۸۶٪ و کمترین کاهش در مقاومت کیک در سرعت چرخش تیغه‌ها ۱۴۰۰ دور در دقیقه به میزان ۳۸/۶۶٪ بود (شکل ۴-ج). بطور خلاصه مقاومت کل با اعمال چرخش تیغه کاهش یافت. دلیل این امر می‌تواند پایداری بخشی از مقاومت برگشت‌پذیر در داخل دیوار منافذ و روی سطح غشا به دلیل نیروی اعمال شده توسط چرخش تیغه بر روی سطح غشا باشد. یافته‌های مطالعه حاضر نیز توسط گولک و همکاران (Gulec *et al.*, 2018)، کاسانو و همکاران (Cassano *et al.*, 2018)، میرسعیدقازی و همکاران (Mirsaeedghazi *et al.*, 2010)، صالحی‌نیا و همکاران (Salehinia *et al.*, 2021) در شفاف سازی غشایی آب سیب، پرتقال خونی و انار تأیید شد.

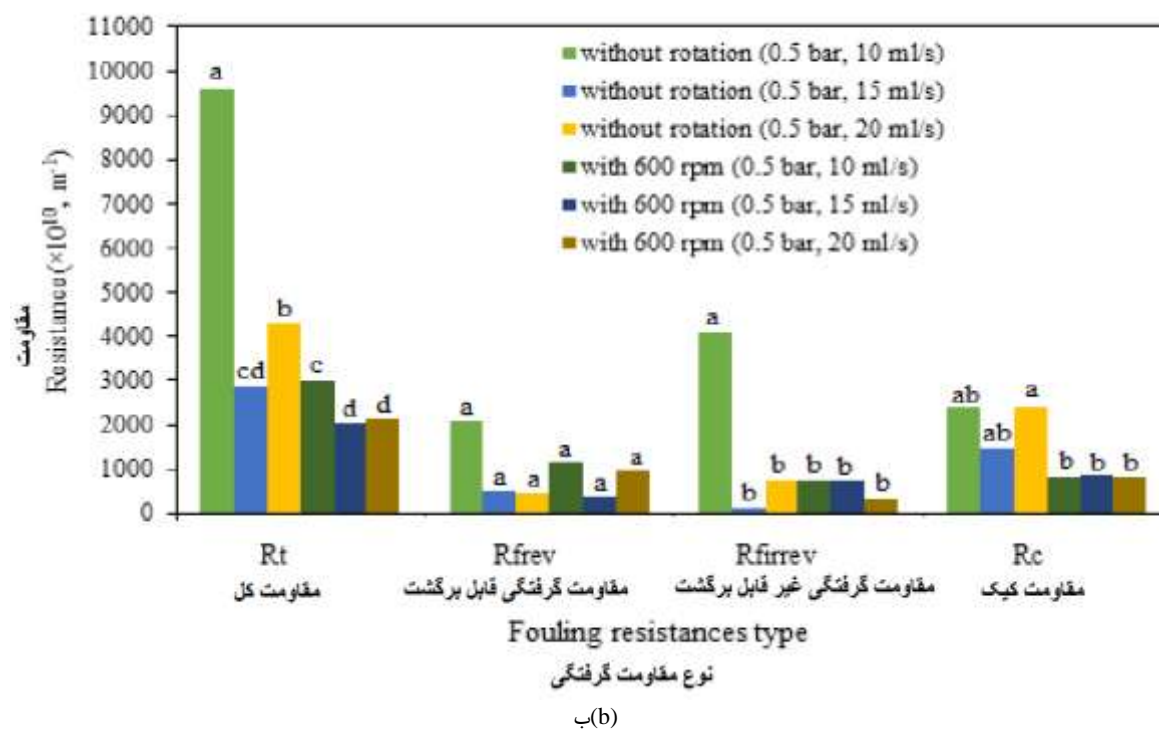
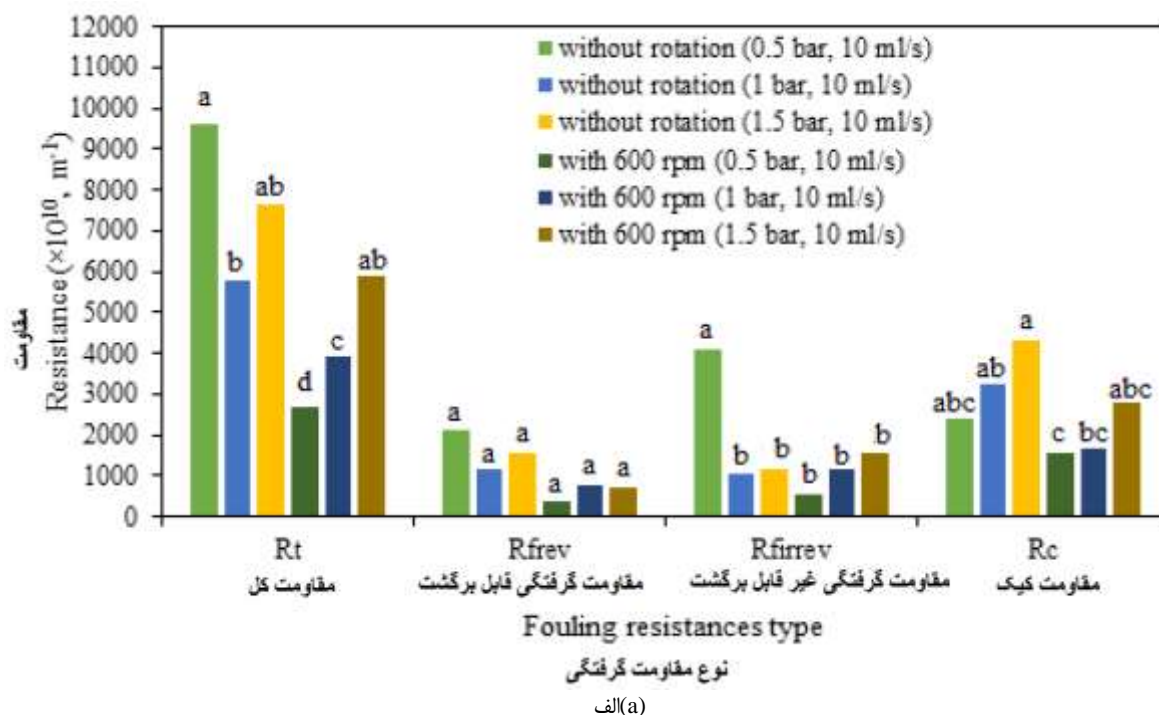
اثر سرعت جریان بر میزان اثربخشی چرخش تیغه‌ها، در سه سرعت جریان ( $10 \text{ ml s}^{-1}$ ،  $15 \text{ ml s}^{-1}$  و  $20 \text{ ml s}^{-1}$  و فشار ۰/۵ بار) در دو حالت بدون چرخش تیغه و اعمال چرخش تیغه به میزان ۶۰۰ دور در دقیقه

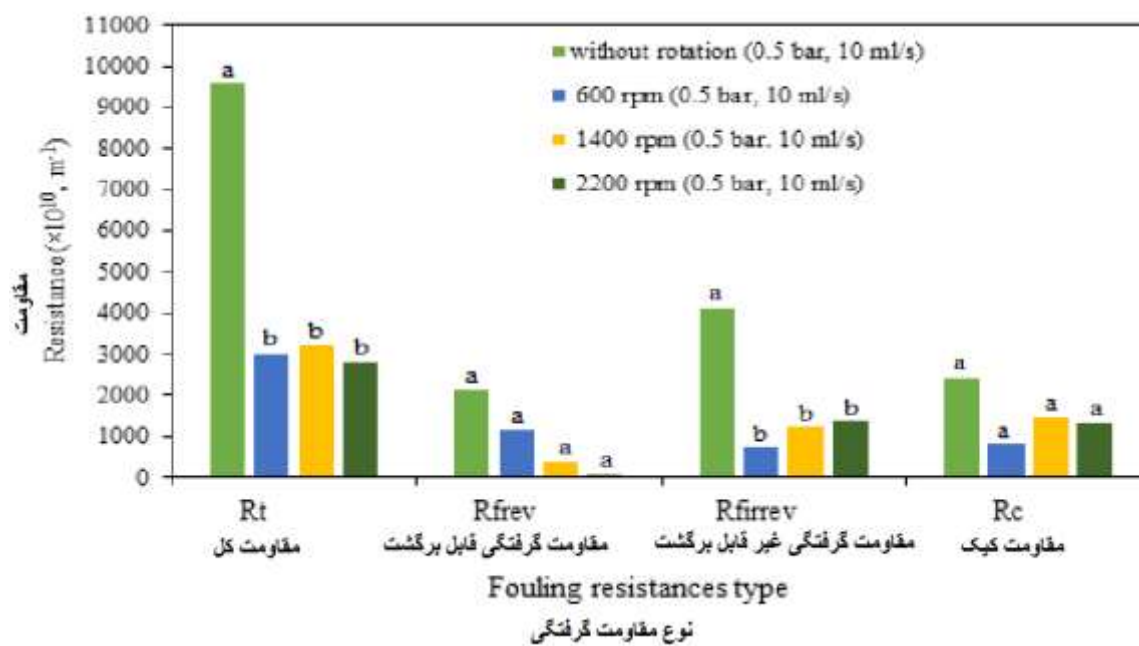
بررسی شد. مطالعه اثر سرعت جریان بر میزان اثر بخشی سامانه نشان داد که اثر چرخش تیغه‌ها در سامانه طراحی شده در مواقعی که سرعت جریان پایین باشد بیشتر است. نتایج نشان داد که، با کاهش سرعت جریان، کارایی چرخش تیغه در کاهش مقاومت کل، مقاومت کیک، مقاومت برگشت‌پذیر و مقاومت برگشت‌ناپذیر افزایش می‌یابد. بنابر این بهترین عملکرد اثربخشی چرخش تیغه در سرعت جریان  $10 \text{ ml s}^{-1}$  به دست آمد. دلیل این نتیجه را می‌توان در افزایش تلاطم جریان به واسطه سرعت جریان‌های بالا دانست که می‌تواند اثربخشی چرخش تیغه در سامانه طراحی شده را کاهش دهد (شکل ۴-ب).

اثر FFR بر مقاومت کل نشان داد که در TMP ثابت (۰/۵ بار) در هر دو حالت با چرخش و بدون چرخش تیغه، ابتدا مقاومت کل با افزایش FFR تا  $15 \text{ ml s}^{-1}$  کاهش یافت، در حالی که با افزایش FFR از  $15 \text{ ml s}^{-1}$  به  $20 \text{ ml s}^{-1}$  مقاومت کل افزایش یافت (شکل ۴-ب). این ممکن است به این دلیل باشد که نیروهای مماسی قابل توجهی ذرات رسوب شده بر روی سطح غشا را جارو می‌کنند. این مطلب را میرسعیدقازی و همکاران (Mirsaeedghazi *et al.*, 2010) و صالحی‌نیا و همکاران (Salehinia *et al.*, 2021) در شفاف‌سازی غشایی آب انار گزارش کردند.

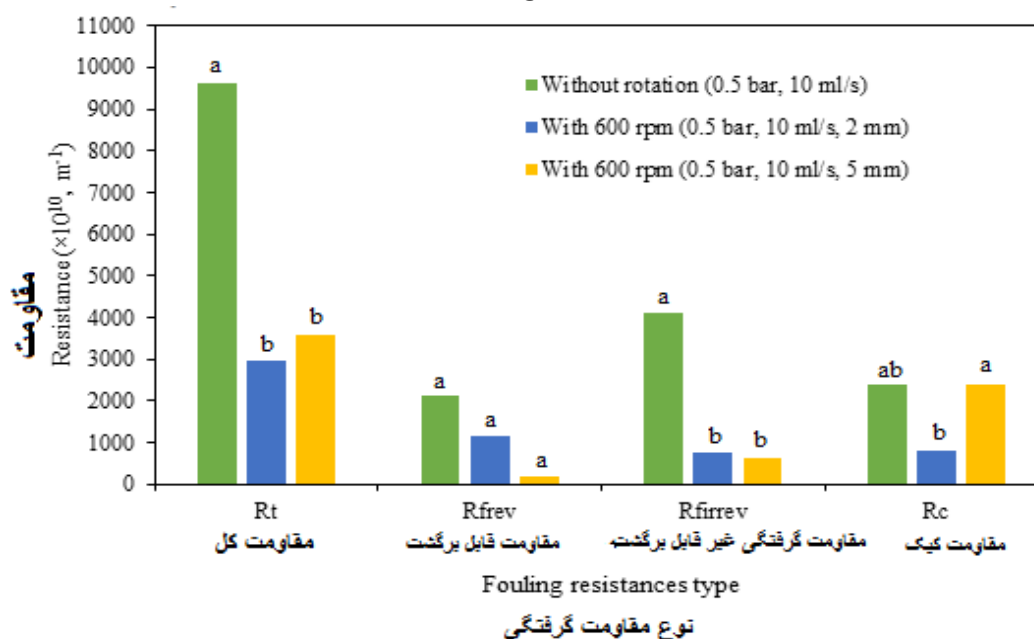
بررسی اثر سرعت چرخش تیغه در سامانه طراحی شده بر مقاومت‌های مختلف نشان داد که چرخش تیغه‌ها باعث کاهش مقاومت کل و اکثر مقاومت‌ها شده است اما افزایش سرعت چرخش تیغه تفاوت معنی‌داری در مقاومت کل نشان نداد (شکل ۴-ج). قاعدتاً رفتار مشابهی بر هر کدام از مقاومت‌ها حاکم بود. دلیل این امر این بود که در پایین‌ترین سرعت دوران تیغه‌ها کفایت اثر بخشی چرخش آن‌ها بر کاهش پلاریزاسیون غلظتی حاصل شد. لو و همکاران (Lou *et al.*, 2013) گزارش کردند که افزایش سرعت چرخش دیسک در فرآیند RDM به کمک UF برای شفاف‌سازی آب کاسنی، منجر به افزایش شار تراوه شده و پلاریزاسیون و گرفتگی را کنترل کرد. آنها دریافتند که سرعت چرخش ۱۰۰۰ دور در دقیقه از نظر انرژی به صرفه بوده و برای کنترل رسوب لازم است ولی افزایش سرعت چرخش به ۲۰۰۰ دور در دقیقه باعث حذف لایه گرفتگی می‌شود.

مطالعه اثر فاصله لبه تیغه تا سطح غشا نشان داد که با افزایش این فاصله مقاومت کیک دچار افزایش شد اما سایر مقاومت‌ها تغییر معنی‌داری را نشان ندادند. دلیل این امر تمرکز تنش حاصل از چرخش تیغه در حجم کنترل کوچکتری در فرایند با تیغه نزدیک‌تر به سطح غشا بود (شکل ۴-د).





ج(c)



د(d)

شکل ۴- اثرات الف) فشار، ب) سرعت جریان، ج) سرعت چرخش تیغه، د) فاصله تیغه از سطح غشا بر مقاومت‌های گرفتگی مختلف در شفاف‌سازی غشایی آب سیب با استفاده از سامانه سطح تراش

Fig. 4- Effects of a: TMP, b: FFR, c: blade speed and d: blade distance from membrane surface on different fouling resistances during membrane clarification of apple juice with scraped surface unit

#### مکانیسم‌های غالب گرفتگی

به منظور بررسی مکانیسم‌های غالب گرفتگی در کل فرایند رابطه بین حجم تراوه (v) و زمان شفاف‌سازی (t) مورد مطالعه قرار گرفت. نتایج نشان داد که در اکثر موارد منحنی  $t/v$  به  $v$  خطی‌تر از منحنی

$t/v$  به  $t$  و  $\ln(t)$  به  $v$  می‌باشد (جدول ۲). از این رو مکانیسم اصلی گرفتگی در فرآیند آب سیب تشکیل لایه کیک می‌باشد. همچنین استفاده از تیغه چرخان با سرعت چرخش ۶۰۰ دور در دقیقه، مکانیسم غالب گرفتگی طی شفاف‌سازی غشایی آب سیب را تغییر چندانی نداد.



البته قابل ذکر است مقادیر  $R^2$  مرتبط با همبستگی منحنی رسم شده با یک منحنی خطی در حالت چرخش تیغه‌ها با سرعت ۶۰۰ دور در دقیقه نسبت به حالت بدون چرخش تیغه کاهش یافت که این امر نشان دهنده کاهش شدت مکانیسم تشکیل کیک در گرفتگی است. مطالعه

نشان داد در سرعت چرخش تیغه بالاتر (۱۴۰۰ و ۲۲۰۰ دور در دقیقه) مکانیسم غالب گرفتگی از نوع استاندارد بود که نشان می‌دهد سرعت زیاد چرخش تیغه منجر به تلاطم بالای جریان و ممانعت از تشکیل کیک روی غشاء و نفوذ ذرات ریز به داخل غشاء شده است.

جدول ۲- رابطه بین حجم تراوه و زمان فرآیند برای تعیین مکانیسم غالب گرفتگی در فرآیندهای فرایالایش آب سیب با استفاده از سامانه سطح تراش

Table 2- Relation between permeate volume (v) and process time (t) to determine the dominant fouling mechanisms in scraped-surface membrane unit during UF processing of apple juice

Blade distance (mm) فاصله تیغه ها	TMP (bar) فشار	FFR (ml/s) سرعت جریان	Blade speed (rpm) میزان دور تیغه	R <sup>2</sup> to fit each chart with linear line ضریب همبستگی			Type of fouling mechanism نوع مکانیسم گرفتگی
				t/v vs. v (cake formation)	t/v vs. t (standard pore blocking)	Ln(t) vs. v (intermediate pore blocking)	
2	0.5	10	No rotation بدون چرخش	<b>0.929267</b>	0.816267	0.876467	Cake formation تشکیل کیک
		15		<b>0.8339</b>	0.7527	0.8043	
		20		<b>0.9966</b>	0.8448	0.9489	
	1	10	600	<b>0.9816</b>	0.8184	0.929	Cake formation تشکیل کیک
	1.5			<b>0.9862</b>	0.8287	0.9316	
	0.5			<b>0.83005</b>	0.7686	0.7865	
	15	<b>0.8862</b>		0.7792	0.834	Standard pore blocking استاندارد	
	20	<b>0.9198</b>		0.814	0.8498		
	1	<b>0.7795</b>	0.7539	0.7436			
	1.5	<b>0.946</b>	0.8063	0.8832	Standard pore blocking استاندارد		
	0.5	1400	0.3351	<b>0.7107</b>		0.3399	
		2200	0.6983	<b>0.7392</b>	0.6814		
5	0.5	10	600	<b>0.9817</b>	0.8362	0.919	Cake formation تشکیل کیک

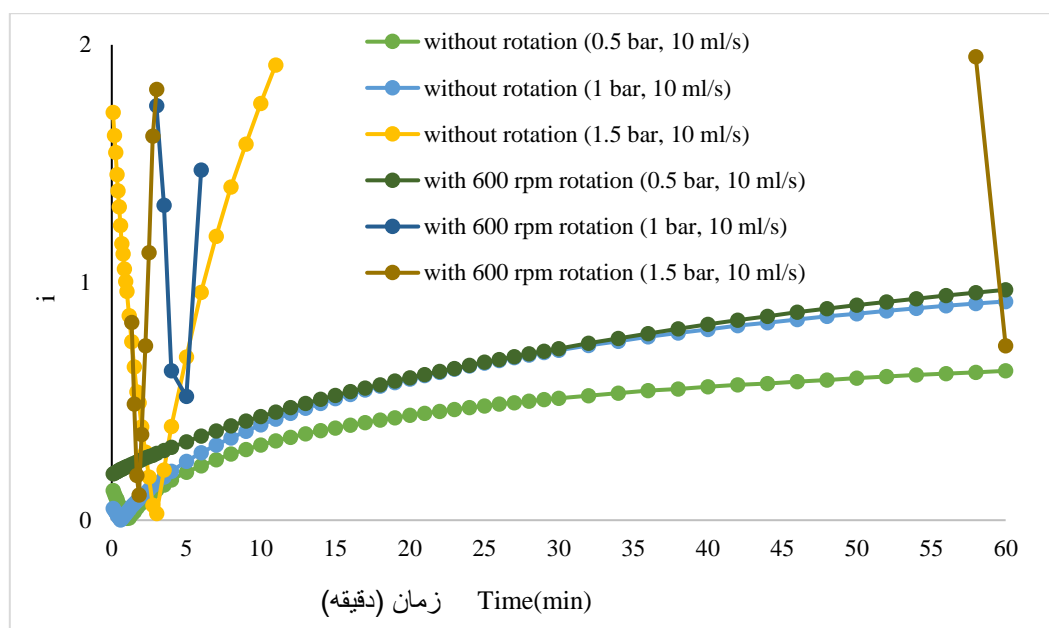
#### مطالعه اندیس بلوکه شدن

از آنجایی که کاهش سریع شار تراوه در طول فرایالایش توانایی کارخانه را در سطح تجاری در شفاف‌سازی آب میوه‌ها محدود می‌کند (Onsekizoglu, 2010)، باید تلاشی برای درک و مدل‌سازی مکانیسم کاهش شار انجام شود و بهبود عملکرد فرآیند باید به گونه‌ای باشد که بتوان آن را به لحاظ اقتصادی در خط تولید آب میوه پیاده‌سازی کرد. اندیس بلوکه شدن برای مطالعه نوع مکانیسم غالب گرفتگی در هر نقطه از فرآیند محاسبه شد. نتایج نشان داد که در فرایند بدون چرخش تیغه مکانیسم غالب بر فرایند در کل طول زمان آن مکانیسم تشکیل کیک است اما با شروع چرخش تیغه و بخصوص با افزایش سرعت چرخش آن در همان دقایق ابتدایی فرایند مکانیسم غالب گرفتگی از تشکیل کیک به سمت بلوکه شدن‌های میانی، استاندارد و کامل پیش می‌رود (شکل ۵ الف - د). این اتفاق می‌تواند به دلیل از بین بردن کیک روی غشاء توسط دوران تیغه و نفوذ ذرات آرمیوه به منافذ غشاء باشد. شرایط در فشارهای مختلف و فواصل متفاوت تیغه تا سطح غشاء تغییر نکرده و مکانیسم‌های گرفتگی رفتاری شبیه به آنچه در ابتدا

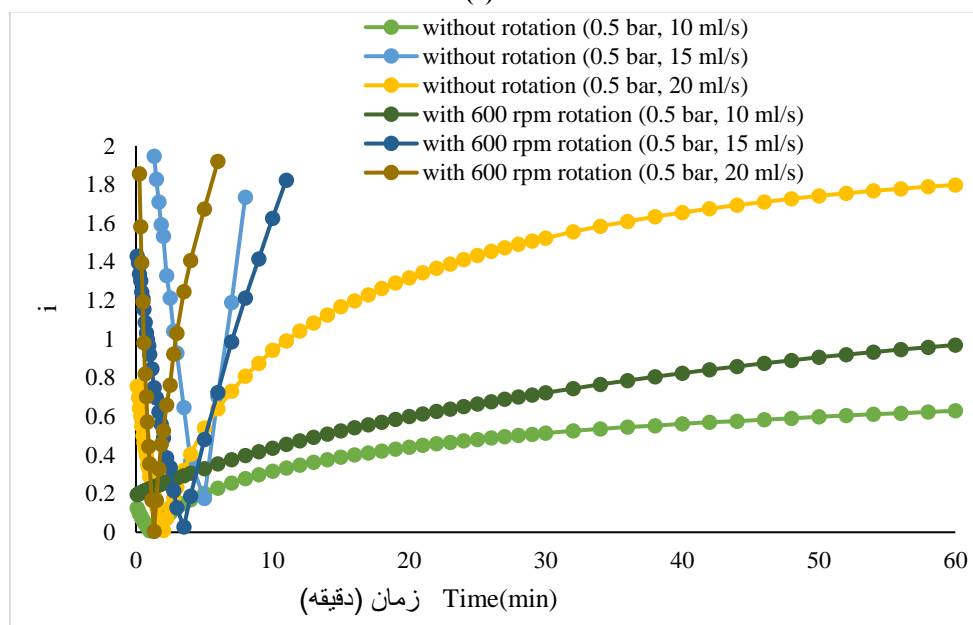
در نتیجه مکانیسم غالب گرفتگی در اکثر شرایط براساس مدل هر میا تشکیل لایه کیک بود که مشابه نتایج بدست آمده توسط ژو و همکاران (Zhu et al., 2013) برای فرایالایش آب کاسنی به کمک RMD، واما و سرکار (Verma and Sarkar, 2015) برای فرایالایش آب سیب، نوربخش و همکاران (Nourbakhsh et al., 2014) برای شفاف‌سازی آب آلو قرمز، داوولیورا و همکاران (de Oliveira et al., 2012) برای ریزپالایش آبمیوه پشن فروت، ناد و همکاران (Nadi et al., 2012) در فیلتراسیون آب پرتقال سانتریفیوژ شده و تحت تیمار آنزیمی قرار گرفته، رای و همکاران (Rai et al., 2007) در فرایالایش با جریان عرضی آب موسامبی پکتین‌زدایی شده، دباروس و همکاران (De Barros et al., 2003) طی فرایالایش آب آناناس پیش تیمار شده با آنزیم توسط غشاء فیبر توخالی PS، میرسعیدقازی و همکاران (Mirsaeedghazi et al., 2010) برای فرایالایش آب انار و علی‌اصغری اقدم و همکاران (Aliasghari Aghdam et al., 2015) طی شفاف‌سازی غشایی آب انار به کمک فراصوت بود.

از تشکیل لایه ضخیم کیک و به دنبال آن پیدایش سایر مکانیسم‌های گرفتگی است که البته شدت تلاطم حاصله به اندازه تلاطم حاصل از چرخش تیغه نبوده است در نتیجه رسیدن به زمان وقوع گرفتگی میانی، استاندارد و کامل با افزایش FFR کاهش می‌یابد که نشان دهنده کاهش ضخامت لایه کیک با افزایش FFR است (Hemmati *et al.*, 2021; Conidi *et al.*, 2020; Aliasghari Aghdam *et al.*, 2015).

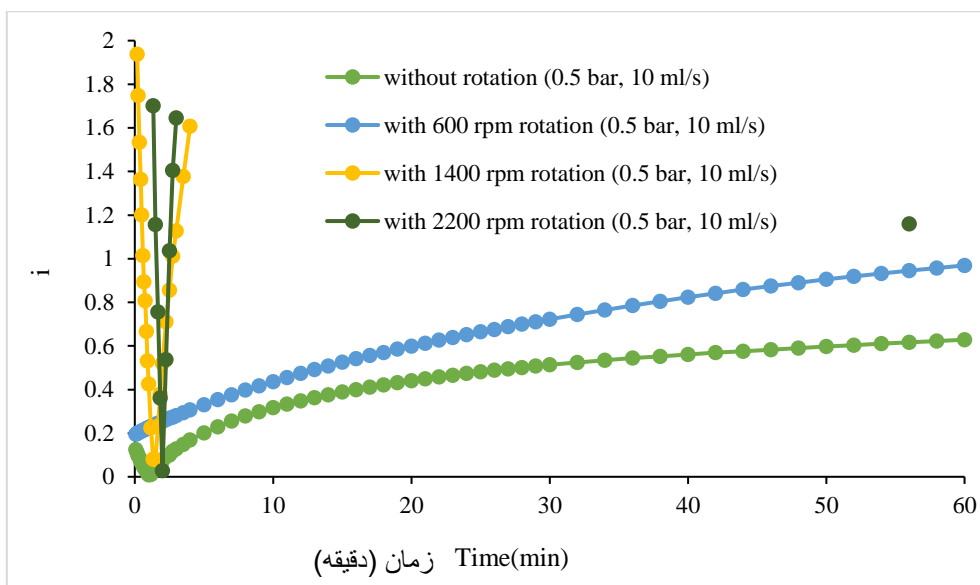
ذکر شد دارند. اما در سرعت جریان‌های بالا مکانیسم گرفتگی حتی در حالت بدون چرخش تیغه به سمت مکانیسم‌های بلوکه شدن میانی، استاندارد و کامل پیش می‌رود اما با این تفاوت که پیدایش بلوکه شدن کامل در حالت بدون چرخش تیغه و در سرعت جریان بالا در اواخر فرایند اتفاق می‌افتد اما در حالت با چرخش خیلی سریع‌تر و در دقایق اولیه فرایند بلوکه شدن کامل حادث خواهد شد (شکل ۵-ب). دلیل این امر اثر بخشی سرعت جریان بالا در تراشیدن سطح غشا و ممانعت



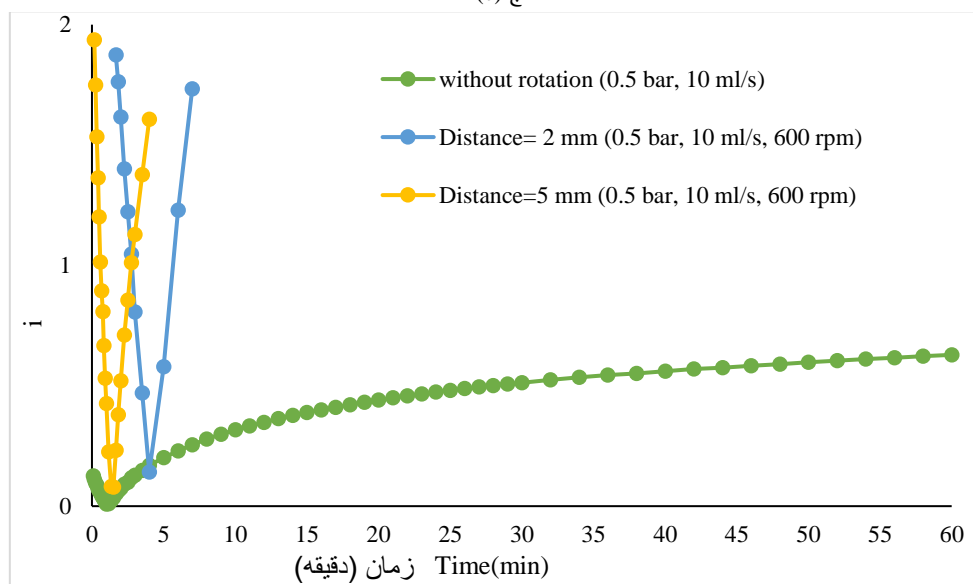
(a) الف



(b) ب



(ج) چ



(د) د

شکل ۵- اثرات الف) فشار، ب) سرعت جریان، ج) سرعت دوران تیغه، د) فاصله تیغه از سطح غشا بر شاخص گرفتگی (i) در فرایند فراپالایش آب سیب به کمک سامانه سطح تراش

Fig. 5- Effects of a: TMP, b: FFR, c: blade speed and d: blade distance from membrane surface on fouling index (i) during ultrafiltration of apple juice with scraped surface unit

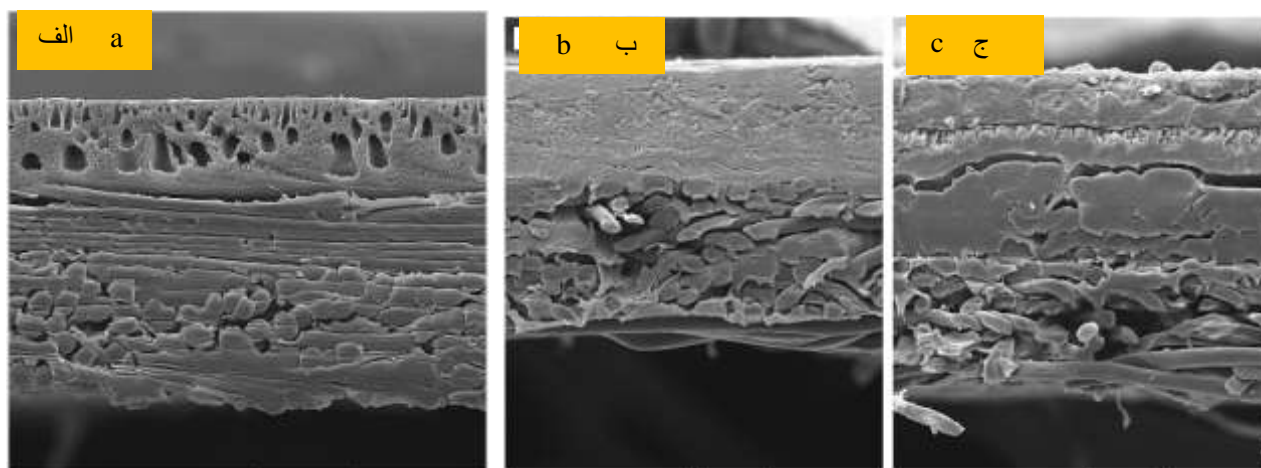
#### مطالعات ریزساختاری غشا

برای بررسی ریزساختاری گرفتگی غشا، سطح مقطع عرضی غشاهای تازه و فرایند شده توسط میکروسکوپ الکترونی روبشی (SEM) با بزرگنمایی ۶۰۰ مورد بررسی قرار گرفتند. شکل ۶-ا سطح مقطع غشاء تازه را قبل از فرایند نشان می‌دهد. همانطور که مشاهده می‌شود تمام منافذ باز هستند و هیچ لایه اضافی روی سطح غشا دیده نمی‌شود. پس از فرایند شفاف‌سازی غشایی آب سیب، سطح مقطع آن

مجدداً مورد بررسی قرار گرفت که تصاویر آن در شکل ۶-ب و شکل ۶-ج به ترتیب برای در حالت با چرخش و بدون چرخش تیغه قابل مشاهده است. همانطور که مشاهده می‌شود، در حالت بدون چرخش تیغه، تجمع ذرات کیک بر روی سطح غشاء ضخیم‌تر و متراکم‌تر از حالت با چرخش تیغه است. از طرف دیگر، ضخامت کم لایه کیک تشکیل شده بر روی سطح غشاء در فرایند با چرخش تیغه به دلیل تلاطم‌های حاصل از تیغه چرخان است. این مشاهدات نتایج حاصل از

کردند. آنها زبری سطح غشا را با استفاده از میکروسکوپ نیروی اتمی اندازه‌گیری کردند و نتیجه گرفتند که غشاهایی با سطح آبگریزتر و زبرتر پتانسیل گرفتگی بالاتری نسبت به غشاهایی با سطح آبدوست و صاف برخوردار بودند.

مدل هرمیا در بخش‌های قبل را تایید می‌کند. منافذ مسدود شده و لایه ای از ذرات رسوب کرده توسط وارچوک و همکاران (Warczok *et al.*, 2004) با استفاده از SEM طی فرایند نانوفیلتراسیون در طول تغلیظ آب سیب مشاهده شد. گولک و همکاران (Gulec *et al.*, 2017) گرفتگی غشایی را در فرآپالایش آب سیب تجزیه و تحلیل



شکل ۶- برش عرضی غشاء با بزرگنمایی ۶۰۰ الف): غشای تازه قبل از فرآیند، ب) غشا بعد از فرآیند UF با چرخش تیغه ج) غشا بعد از فرآیند UF بدون چرخش تیغه

Fig. 6- Cross-sectional view of the membrane (a: before the process, b: after the process in rotating blade mode and c: after the process in non-rotation mode)

کیک به بلوکه شدن‌های میانی، استاندارد و کامل تغییر می‌کند. همچنین مطالعات مقاومت‌های مختلف نشان داد که مقاومت کل و مقاومت کیک با چرخش تیغه کاهش یافت. در نتیجه، شرایط ۰/۵TMP، بار، FFR ۱۰ میلی‌لیتر بر ثانیه، سرعت چرخش تیغه ۶۰۰ دور در دقیقه و فاصله تیغه ۲ میلی‌متر از سطح غشا به‌عنوان بهترین شرایط از لحاظ عملکرد گرفتگی غشایی و راندمان فرایند برای فرآپالایش آب سیب با استفاده از سامانه سطح تراش معرفی شد.

## نتیجه‌گیری

با توجه به نتایج حاصله چرخش تیغه تأثیر مثبت و معناداری بر افزایش VCF فرایند داشته است. مکانیسم گرفتگی غالب در فرآیند فرآپالایش آب سیب به کمک سامانه سطح تراش در اکثر شرایط تشکیل لایه کیک بود، اما با افزایش سرعت چرخش تیغه‌ها و به دلیل ایجاد تلاطم در جریان و در نتیجه کاهش ضخامت لایه کیک در سطح غشا و نفوذ ذرات ریز به داخل منافذ آن، نوع گرفتگی از تشکیل لایه

## منابع

1. Aguiar, I.B., Miranda, N.G., Gomes, F.S., Santos, M.C., de GC Freitas, D., Tonon, R.V., & Cabral, L.M. (2012). Physicochemical and sensory properties of apple juice concentrated by reverse osmosis and osmotic evaporation. *Innovative Food Science & Emerging Technologies*, 16, 137-142. <https://doi.org/https://doi.org/10.1016/j.ifset.2012.05.003>
2. Ahmad, S., Marson, G.V., Zeb, W., Rehman, W.U., Younas, M., Farrukh, S., & Rezaqazemi, M. (2020). Mass transfer modelling of hollow fiber membrane contactor for apple juice concentration using osmotic membrane distillation. *Separation and Purification Technology*, 250, 117209. <https://doi.org/https://doi.org/10.1016/j.seppur.2020.117209>
3. Aliasghari Aghdam, M., Mirsaedghazi, H., Aboonajmi, M., & Kianmehr, M.H. (2015). Effect of ultrasound on different mechanisms of fouling during membrane clarification of pomegranate juice. *Innovative Food Science and Emerging Technologies*, 30, 127-131. <https://doi.org/https://doi.org/10.1016/j.ifset.2015.05.008>
4. Bahçeci, K.S. (2012). Effects of pretreatment and various operating parameters on permeate flux and quality during ultrafiltration of apple juice. *International Journal of Food Science & Technology*, 47(2), 315-324. <https://doi.org/https://doi.org/10.1111/j.1365-2621.2011.02841.x>

5. Bhattacharjee, C., Saxena, V.K., & Dutta, S. (2017a). Fruit juice processing using membrane technology: A review. *Innovative Food Science & Emerging Technologies*, 43, 136–153. <https://doi.org/https://doi.org/10.1016/j.ifset.2017.08.002>
6. Bhattacharjee, C., Saxena, V.K., & Dutta, S. (2017b). Watermelon juice concentration using ultrafiltration: Analysis of sugar and ascorbic acid. *Food Science and Technology International*, 23(7), 637–645. <https://doi.org/10.1177/1082013217714672>
7. Cai, M., Xie, C., Lv, Y., Yang, K., & Sun, P. (2020). Changes in physicochemical profiles and quality of apple juice treated by ultrafiltration and during its storage. *Food Science & Nutrition*, 8(6), 2913–2919. <https://doi.org/https://doi.org/10.1002/fsn3.1593>
8. Candrawinata, V.I., Golding, J.B., Roach, P.D., & Stathopoulos, C.E. (2013). From apple to juice—The fate of polyphenolic compounds. *Food Reviews International*, 29(3), 276–293. <https://doi.org/10.1080/87559129.2013.790049>
9. Cassano, A., Conidi, C., & Drioli, E. (2018). Membrane-based operations and integrated membrane systems in fruit juice processing, in: Drioli, E., Giorno, L., Macedonio, F. (Eds.), De Gruyter, pp. 255–288. <https://doi.org/doi:10.1515/9783110281392-008>
10. Cassano, A., Donato, L., & Drioli, E. (2007). Ultrafiltration of kiwifruit juice: Operating parameters, juice quality and membrane fouling. *Journal of Food Engineering*, 79(2), 613–621. <https://doi.org/https://doi.org/10.1016/j.jfoodeng.2006.02.020>
11. Castro-Muñoz, R. (2019). Separation, fractionation and concentration of high-added-value compounds from agro-food by-products through membrane-based technologies, in: Ferranti, P., Berry, E.M., Anderson, J. R. B. T.-E. of F. S. and S. (Eds.), Elsevier, Oxford, pp. 465–476. <https://doi.org/https://doi.org/10.1016/B978-0-08-100596-5.22282-8>
12. Castro-Muñoz, R., Boczkaj, G., Gontarek, E., Cassano, A., & Fila, V. (2020). Membrane technologies assisting plant-based and agro-food by-products processing: A comprehensive review. *Trends in Food Science & Technology*, 95, 219–232. <https://doi.org/https://doi.org/10.1016/j.tifs.2019.12.003>
13. Castro-Muñoz, R., & Fila, V. (2018). Membrane-based technologies as an emerging tool for separating high-added-value compounds from natural products. *Trends in Food Science & Technology*, 82, 8–20. <https://doi.org/https://doi.org/10.1016/j.tifs.2018.09.017>
14. Cheng, M., Xie, X., Schmitz, P., & Fillaudeau, L. (2021). Extensive review about industrial and laboratory dynamic filtration modules: Scientific production, configurations and performances. *Separation and Purification Technology*, 265, 118293. <https://doi.org/https://doi.org/10.1016/j.seppur.2020.118293>
15. Conidi, C., Castro-Muñoz, R., & Cassano, A. (2020). Membrane-based operations in the fruit juice processing industry: A Review. *Beverages*, 6(1), 18. <https://doi.org/10.3390/beverages6010018>
16. De Barros, S.T.D., Andrade, C.M.G., Mendes, E.S., & Peres, L. (2003). Study of fouling mechanism in pineapple juice clarification by ultrafiltration. *Journal of Membrane Science*, 215(1-2), 13–224. [https://doi.org/https://doi.org/10.1016/S0376-7388\(02\)00615-4](https://doi.org/https://doi.org/10.1016/S0376-7388(02)00615-4)
17. de Bruijn, J., & Bórquez, R. (2006). Analysis of the fouling mechanisms during cross-flow ultrafiltration of apple juice. *LWT-Food Science and Technology*, 39(8), 861–871. <https://doi.org/https://doi.org/10.1016/j.lwt.2005.06.014>
18. de Oliveira, R.C., Docê, R.C., & de Barros, S.T.D. (2012). Clarification of passion fruit juice by microfiltration: Analyses of operating parameters, study of membrane fouling and juice quality. *Journal of Food Engineering*, 111(2), 432–439. <https://doi.org/https://doi.org/10.1016/j.jfoodeng.2012.01.021>
19. Dornier, M., Belleville, M.P., & Vaillant, F. (2018). Membrane technologies for fruit juice processing. In *Fruit preservation* (pp.211-248). Springer, New York, NY. [https://doi.org/10.1007/978-1-4939-3311-2\\_8](https://doi.org/10.1007/978-1-4939-3311-2_8)
20. Echavarría, A.P., Falguera, V., Torras, C., Berdún, C., Pagán, J., & Ibarz, A. (2012). Ultrafiltration and reverse osmosis for clarification and concentration of fruit juices at pilot plant scale. *LWT-Food Science and Technology*, 46(1), 189–195. <https://doi.org/https://doi.org/10.1016/j.lwt.2011.10.008>
21. Echavarría, A.P., Torras, C., Pagán, J., & Ibarz, A. (2011). Fruit juice processing and membrane technology application. *Food Engineering Reviews*, 3(3), 136–158. <https://doi.org/10.1007/s12393-011-9042-8>
22. Fao, I.F.A.D., & UNICEF, W. (2017). The state of food security and nutrition in the world. *Rome, Italy: Food and Agriculture Organization of the United Nations*.
23. Fuenmayor, C.A., Lemma, S.M., Mannino, S., Mimmo, T., & Scampicchio, M. (2014). Filtration of apple juice by nylon nanofibrous membranes. *Journal of Food Engineering*, 122, 110–116. <https://doi.org/https://doi.org/10.1016/j.jfoodeng.2013.08.038>
24. Fukumoto, L.R., Delaquis, P., & Girard, B. (1998). Microfiltration and Ultrafiltration ceramic membranes for apple juice clarification. *Journal of Food Science*, 63(5), 845–850. <https://doi.org/https://doi.org/10.1111/j.1365-2621.1998.tb17912.x>



25. Gökmen, V., & Çetinkaya, Ö. (2007). Effect of pretreatment with gelatin and bentonite on permeate flux and fouling layer resistance during apple juice ultrafiltration. *Journal of food engineering*, 80(1), 300–305. <https://doi.org/https://doi.org/10.1016/j.jfoodeng.2006.04.060>
26. Gulec, H.A., Bagci, P.O., & Bagci, U. (2017). Clarification of apple juice using polymeric ultrafiltration membranes: A comparative evaluation of membrane fouling and juice quality. *Food and Bioprocess Technology*, 10(5), 875–885. <https://doi.org/10.1007/s11947-017-1871-x>
27. Gulec, H.A., Bagci, P.O., & Bagci, U. (2018). Performance enhancement of ultrafiltration in apple juice clarification via low-pressure oxygen plasma: A comparative evaluation versus pre-flocculation treatment. *LWT*, 91, 511–517. <https://doi.org/https://doi.org/10.1016/j.lwt.2018.01.082>
28. He, Y., Ji, Z., & Li, S. (2007). Effective clarification of apple juice using membrane filtration without enzyme and pasteurization pretreatment. *Separation and Purification Technology*, 57(2), 366–373. <https://doi.org/https://doi.org/10.1016/j.seppur.2007.04.025>
29. Hemmati, A., Mirsaedghazi, H., & Aboonajmi, M. (2021). The effect of ultrasound treatment on the efficiency of membrane clarification of carrot juice. *Journal of Food Processing and Preservation*, 45(1), e15001. <https://doi.org/https://doi.org/10.1111/jfpp.15001>
30. Hermia, J. (1982). Constant pressure blocking filtration laws: application to power-law non-Newtonian fluids. *Chemical Engineering*, 60(3), 183–187.
31. Hojjatpanah, G., Emam-Djomeh, Z., Ashtari, A.K., Mirsaedghazi, H., & Omid, M. (2011). Evaluation of the fouling phenomenon in the membrane clarification of black mulberry juice. *International Journal of Food Science & Technology*, 46(7), 1538–1544. <https://doi.org/https://doi.org/10.1111/j.1365-2621.2011.02651.x>
32. Ilame, S.A., & Singh, S. (2015). Application of membrane separation in fruit and vegetable juice processing: a review. *Critical Reviews in Food Science and Nutrition*, 55(7), 964–987. <https://doi.org/10.1080/10408398.2012.679979>
33. Khanali, M., Kokei, D., Aghbashlo, M., Nasab, F.K., Hosseinzadeh-Bandbafha, H., & Tabatabaei, M. (2020). Energy flow modeling and life cycle assessment of apple juice production: Recommendations for renewable energies implementation and climate change mitigation. *Journal of Cleaner Production*, 246, 118997. <https://doi.org/https://doi.org/10.1016/j.jclepro.2019.118997>
34. Laurio, M.V.O., Yenkie, K.M., & Slater, C.S. (2021). Optimization of vibratory nanofiltration for sustainable coffee extract concentration via response surface methodology. *Separation Science and Technology*, 1–19. <https://doi.org/10.1080/01496395.2021.1879858>
35. Lu, C., Bao, Y., & Huang, J.Y. (2021). Fouling in membrane filtration for juice processing. *Current Opinion in Food Science*, 42, 76–85. <https://doi.org/https://doi.org/10.1016/j.cofs.2021.05.004>
36. Luo, J., Zhu, Z., Ding, L., Bals, O., Wan, Y., Jaffrin, M.Y., & Vorobiev, E. (2013). Flux behavior in clarification of chicory juice by high-shear membrane filtration: evidence for threshold flux. *Journal of Membrane Science*, 435, 120–129. <https://doi.org/https://doi.org/10.1016/j.memsci.2013.01.057>
37. Massini, L., Rico, D., & Martin-Diana, A.B. (2018). Chapter 4- Quality attributes of apple juice: Role and effect of phenolic compounds. In *Fruit Juices* (pp. 45–47). Academic Press. <https://doi.org/https://doi.org/10.1016/B978-0-12-802230-6.00004-7>
38. Mirsaedghazi, H., Emam-Djomeh, Z., Mousavi, S.M., Aroujalian, A., & Navidbakhsh, M. (2010). Clarification of pomegranate juice by microfiltration with PVDF membranes. *Desalination*, 264(3), 243–248. <https://doi.org/https://doi.org/10.1016/j.desal.2010.03.031>
39. Nandi, B.K., Das, B., & Uppaluri, R. (2012). Clarification of orange juice using ceramic membrane and evaluation of fouling mechanism. *Journal of Food Process Engineering*, 35(3), 403–423. <https://doi.org/https://doi.org/10.1111/j.1745-4530.2010.00597.x>
40. Nourbakhsh, H., Emam-Djomeh, Z., Mirsaedghazi, H., Omid, M., & Moieni, S. (2014). Study of different fouling mechanisms during membrane clarification of red plum juice. *International Journal of Food Science & Technology*, 49(1), 58–64. <https://doi.org/https://doi.org/10.1111/ijfs.12274>
41. Onsekizoglu, P., Bahceci, K.S., & Acar, M.J. (2010). Clarification and the concentration of apple juice using membrane processes: A comparative quality assessment. *Journal of Membrane Science*, 352(1–2), 160–165. <https://doi.org/https://doi.org/10.1016/j.memsci.2010.02.004>
42. Rai, P., Majumdar, G.C., Gupta, S.D., & De, S. (2007). Effect of various pretreatment methods on permeate flux and quality during ultrafiltration of mosambi juice. *Journal of Food Engineering*, 78(2), 561–568. <http://dx.doi.org/10.1016/j.jfoodeng.2005.10.024>
43. Salehinia, S., Mirsaedghazi, H., & Khashehchi, M. (2021). The effect of laser on the efficiency of membrane clarification of pomegranate juice. *Journal of Food Science and Technology*, 58(5), 1682–1692. <https://doi.org/10.1007/s13197-020-04678-x>



44. Sarkar, B. (2015). Enhanced cross-flow ultrafiltration of apple juice using electric field. *Journal of Food Processing and Preservation*, 39(6), 1372–1384. <https://doi.org/https://doi.org/10.1111/jfpp.12356>
45. Sarlaki, E., Paghaleh, A.S., Kianmehr, M.H., & Vakilian, K.A. (2020). Chemical, spectral and morphological characterization of humic acids extracted and membrane purified from lignite. *Chemistry and Chemical Engineering*, 14(3), 353–361. <https://doi.org/10.23939/chcht14.03.353>
46. Szerencsés, S.G., Beszédes, S., László, Z., Veréb, G., Szalay, D., Hovorkáné Horváth, Z., Hodúr, C., Rákhely, G., & Kertész, S. (2021). Assessment of vibration amplitude and transmembrane pressure on vibratory shear enhanced membrane filtration for treating dairy wastewater. *Acta Alimentaria*, 50(1), 42–53. <https://doi.org/10.1556/066.2020.00123>
47. Verma, S.P., & Sarkar, B. (2015). Analysis of flux decline during ultrafiltration of apple juice in a batch cell. *Food and Bioproducts Processing*, 94, 147–157. <https://doi.org/https://doi.org/10.1016/j.fbp.2015.03.002>
48. Vladislavljević, G.T., Vukosavljević, P., & Bukvić, B. (2003). Permeate flux and fouling resistance in ultrafiltration of depectinized apple juice using ceramic membranes. *Journal of Food Engineering*, 60(3), 241–247. [https://doi.org/https://doi.org/10.1016/S0260-8774\(03\)00044-X](https://doi.org/https://doi.org/10.1016/S0260-8774(03)00044-X)
49. Warczok, J., Ferrando, M., López, F., & Güell, C. (2004). Concentration of apple and pear juices by nanofiltration at low pressures. *Journal of Food Engineering*, 63(1), 63–70. [https://doi.org/https://doi.org/10.1016/S0260-8774\(03\)00283-8](https://doi.org/https://doi.org/10.1016/S0260-8774(03)00283-8)
50. Yazdanshenas, M., Tabatabaenezhad, A.R., Roostaazad, R., & Khoshfetrat, A.B. (2005). Full scale analysis of apple juice ultrafiltration and optimization of diafiltration. *Separation and Purification Technology*, 47(1-2), 52–57. <https://doi.org/https://doi.org/10.1016/j.seppur.2005.06.004>
51. Zarouk, S., Mirsaedghazi, H., & Massah, J. (2020). The effect of magnetic field on efficiency and fouling mechanisms during membrane clarification of pomegranate juice. *Iranian Journal of Chemistry and Chemical Engineering(IJCCE)*. <https://doi.org/10.30492/ijcce.2020.123797.4057>
52. Zhang, W., Ding, L., Grimi, N., Jaffrin, M.Y., & Tang, B. (2017). Application of UF-RDM (Ultrafiltration Rotating Disk Membrane) module for separation and concentration of leaf protein from alfalfa juice: Optimization of operation conditions. *Separation and Purification Technology*, 175, 365–375. <https://doi.org/https://doi.org/10.1016/j.seppur.2016.11.059>
53. Zhao, L., Wang, Y., Qiu, D., & Liao, X. (2014). Effect of ultrafiltration combined with high-pressure processing on safety and quality features of fresh apple juice. *Food and Bioprocess Technology*, 7(11), 3246–3258. <https://doi.org/10.1007/s11947-014-1307-9>
54. Zhu, Z., Ladeg, S., Ding, L., Bals, O., Moulai-Mostefa, N., Jaffrin, M.Y., & Vorobiev, E. (2014). Study of rotating disk assisted dead-end filtration of chicory juice and its performance optimization. *Industrial Crops and Products*, 53, 154–162. <https://doi.org/https://doi.org/10.1016/j.indcrop.2013.12.030>
55. Zhu, Z., Luo, J., Ding, L., Bals, O., Jaffrin, M.Y., & Vorobiev, E. (2013). Chicory juice clarification by membrane filtration using rotating disk module. *Journal of Food Engineering*, 115(2), 264–271. <https://doi.org/https://doi.org/10.1016/j.jfoodeng.2012.10.028>
56. Zhu, Z., Mhemdi, H., Zhang, W., Ding, L., Bals, O., Jaffrin, M.Y., Grimi, N., & Vorobiev, E. (2016). Rotating disk-assisted cross-flow ultrafiltration of sugar beet juice. *Food and Bioprocess Technology*, 9(3), 493–500. <https://doi.org/10.1007/s11947-015-1644-3>